

TECHNIKA CIEPLNA

Czasopismo Stowarzyszenia Dozoru Kotłów w Warszawie.

Oficjalny Organ Polskiego Komitetu Normalizacyjnego dla Spraw Kotłowych.

Redaktor: Inż. techn. JAN KOMARNICKI.

Wydawca: Stowarzyszenie Dozoru Kotłów w Warszawie.

REDAKCJA i ADMINISTRACJA: Warszawa, Chmielna 2, m. 6. Tel. 275-45.

GODZINY BIUROWE: Redakcji—piątki, od 18 do 20, Administracji—codziennie, od 10 do 15.

SPIS RZECZY: *R. Biedrzycki* i *W. Pac*, inżynierowie. Uwagi w sprawie projektu norm odbiorczych turbin i maszyn parowych. — *Cz. Grabowski*, prof. Zasady hydraulicznej teorii ciągu naturalnego. — *Z. Kłębowski*, inż. Obliczenia wytrzymałościowe w świetle wyników ostatnich badań. — *R. M.* Obliczanie współczynnika wytrzymałości względnej „Z” walczków kotłów parowych. — KRONIKA TECHNICZNA. — *R. M.* Eksplozja kotłów w Niemczech. — WSPOMNIENIE POŚMIERNÉ. — Prof. dr. *Stephan Löffler*. — NOWE WYDAWNICTWA. PRZEGLĄD WYTWORCZOŚCI. Prof. inż. *R. Dawidowski*. Czyszczenie wody kotłowej ze szczególnem uwzględnieniem kotłów wysokopiętnych. SOMMAIRE: *R. Biedrzycki*, inż. et *W. Pac*, inż. Remarques sur le projet des conditions des essais de garantie des turbines et des machines à vapeur. — *Cz. Grabowski*, prof. La théorie hydraulique du tirage naturel. — *Z. Kłębowski*, inż. Les calculs de la résistance des matériaux. — *R. M.* Le calcul du coefficient de la résistance relative des viroles des chaudières à vapeur. — CHRONIQUE. — *R. M.* Les explosions des chaudières à vapeur en Allemagne. — NECROLOGUE. — Prof. dr. *Stephan Löffler*. — NOUVEAUX LIVRES. NOUVEAUX PRODUITS. — Prof. Ing. *B. Dawidowski*. L'épuration de l'eau d'alimentation.

Inż. ROMAN BIEDRZYCKI i Inż. WŁADYSŁAW PAC.

UWAGI W SPRAWIE PROJEKTU NORM ODBIORCZYCH TURBIN i MASZYN PAROWYCH.

(por. *Technika Ciepłna* 1929, str. 179)

II

W poprzedniej notatce, zamieszczonej w Nr. 10 *Techniki Ciepłnej*, omówiliśmy sprawę odbioru turbin czysto kondensacyjnych.

Ten rodzaj turbin przedstawia przy odbiorach najmniej kłopotu. Pomiaru same są tu stosunkowo łatwe, szczególnie, gdy odbiorowi podlegają objekty o mniejszej mocy. Poza precyzyjnymi przyrządami elektrycznymi, operuje się tu najprostszymi instrumentami pomiarowymi, jak termometry, manometry i t. p., których wskazania mają bezpośrednią i niezaprzeczalną wartość, a jedyny warunek, jakiemu muszą one odpowiadać, jest ten, aby były dokładne i prawidłowo zbudowane. Zużycie pary określamy tutaj też drogą najprostszą i bezsporną, zapomocą mierzenia kondensatu, do czego możemy użyć przysposobione na miejscu zbiorniki, których wymierzanie z dostateczną dokładnością uskutecznia się przed początkiem pomiarów.

Sprawa przeliczeń nasuwa obecnie jeszcze pewne trudności, które powstają, jak mówiliśmy w poprzedniej notatce, wskutek różnych poglądów oraz, co najważniejsze, niejasno lub niekompletnie ułożonych umów, dających możność dostawcy komentowania ich w sposób dla siebie najwygodniejszy.

Niewątpliwie jednak unormowanie sposobu przeliczeń i zwrócenie większej uwagi na właści-

we układanie umów położą kres wysuwany dotychczas wątpliwościom, i wówczas przeliczenia przy odbiorze turbin kondensacyjnych nie będą przedstawiać trudności.

Więcej natomiast kłopotów przyczyniają odbiory turbin, których para odlotowa nie kondensuje się całkowicie, ale bądź częściowo, bądź w całej ilości używana jest dalej na cele uboczne.

Do takich należą:

- 1) turbiny przeciwpiętne,
- 2) turbiny kondensacyjne, pracujące z pobieraniem pary,
- 3) turbiny przeciwpiętne, pracujące z pobieraniem pary.

Tu już i same pomiary są trudniejsze do przeprowadzenia. Określanie ilości zużytej pary musi się tu odbywać oczywiście inaczej, niż w turbinach kondensacyjnych. Zdawałoby się, że najściślej można ustalić tę wielkość zapomocą mierzenia ilości pary, użytej na zasilenie kotłów, przy ewentualnem mierzeniu skroplin w skraplaczu (do turbin kondensacyjnych z pobieraniem pary).

Jednak zastosowanie takiego sposobu przedłużałoby znacznie każdy pomiar: ponieważ zaś w ciągu całego pomiaru obciążenie turbiny i ilość pobieranej pary mogą się conajwyżej wahać w dość wąskich granicach, co w pracującym zakładzie przemysłowym szczególnie w ciągu dłuższego czasu rzadko się daje utrzymać — wiele z tych pomiarów nie udałoby się i trzeba by

było je powtarzać. Jeżeli zaś sobie uprzytomni-
my, że każdy odbiór składa się z kilku, a nieraz
kilkunastu oddzielnych pomiarów, to łatwo sobie
wyobrazić, jak bardzo uciążliwe i niezmiernie ko-
sztowne byłyby takie próby odbiorcze. Przytem
sposób mierzenia wody, zasilającej kotły, nie da-
je cyfr dokładnych dla zużycia pary i literatura
wykazuje znaczne nieraz rozbieżności między
ilością, uzyskaną drogą mierzenia wody zasilają-
cej, a ilością np. skroplin w turbinach czysto
kondensacyjnych.

To też w praktyce odbiorów zaniechano
określania zużycia pary drogą mierzenia wody
zasilającej. Pozostaje tedy inna droga: mierzenie
ilości pary bądź wlotowej bądź pobieranej przy
pomocy paromierzy. Spotykane jednak w handlu
paromierze nie nadają się do dokładnych pomia-
rów. Służą one względnie dobrze swemu celowi,
jeżeli chodzi o ogólną orientację, potrzebną dla
kontroli ruchu, nie mogą być jednak użyte przy
spornych zwykle pomiarach odbiorczych.

Polski projekt norm odbiorczych również
jakno rmy niemieckie, przy określaniu zużycia pary
zapomocą paromierzy, dopuszcza 5% tolerancję.

Tak wielka swoboda w operowaniu wska-
zaniami paromierza jest nieco rażąca w porówna-
niu z laboratoryjną niemal ścisłością, cechującą
wszystkie pomiary w czasie badań odbiorczych.

Ta znaczna tolerancja wspólnie z wieloma
korekturami na temperaturę, na ciśnienie, na próż-
nię, z których każda znów zawiera pewne tole-
rancje, podważają tę początkową ścisłość do te-
go stopnia, iż wysuwają możliwość usprawiedli-
wiania tak znacznych odchyżeń od cyfr gwaran-
cyjnych, że mogłoby to wzbudzić pytanie co do
celowości kosztownych i mozolnych prób od-
biorczych. Tak więc całe zagadnienie o zastoso-
waniu paromierzy łączy się tu ściśle ze sprawą
odbioru turbin i wymaga swego rozwiązania; do-
tąd bowiem za problematyczną będzie można
uważać celowość przeprowadzenia badań odbior-
czych turbin, pracujących bądź z przeciwpężno-
ścią, bądź z pobieraniem pary.

Można inną jeszcze drogą dojść do spraw-
dzienia cyfr, gwarantowanych przez dostawcę: po-
siadając bowiem gwarantowane zużycie pary w pe-
wnych określonych warunkach, można ustalić, ja-
ka stąd wynika gwarantowana termodynamiczna
sprawność turbiny. Posiłkujemy się tu wzorem:

$$G \text{ kg/kWh} = \frac{860}{(i_1 - i_2) \text{ adj. } \eta_i \eta_m \eta_{gen}}$$

$$\text{skąd } \eta_i = \frac{860}{G (i_1 - i_2) \text{ adj. } \eta_m \eta_{gen}}$$

Zużycie pary G oraz η_{gen} mamy podane
przez dostawcę, zaś η_m jest zadawane z pewnym
przybliżeniem oraz w przypuszczeniu, że straty
mechaniczne nie zależą od obciążenia, czyli abso-
lutna ich wielkość jest stała.

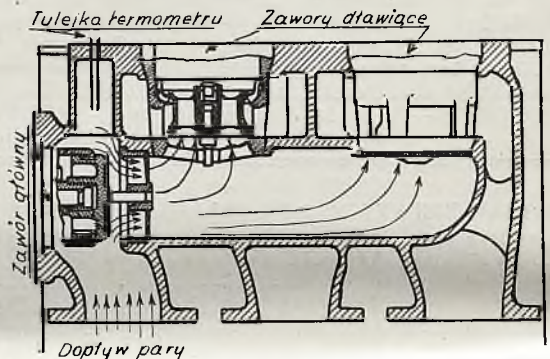
Adjabatyczny spadek ciepłika $(i_1 - i_2)$ adj,
możemy również określić, posiadając od dostaw-
cy ciśnienie i temperaturę pary wlotowej i odlo-

towej dla warunków, odpowiadających gwarancji.
Możemy więc z tego wzoru określić gwaranto-
wane η_i . Notując teraz w czasie pomiarów ciś-
nienie i temperaturę pary wlotowej i odlotowej,
określamy stąd rzeczywisty spadek ciepłika $(i_1 - i_2)$ rzecz., jak również i adjabatyczny spadek
ciepłika $(i_1 - i_2)$ adj.

Korzystając z wzoru $\frac{(i_1 - i_2) \text{ rzecz.}}{(i_1 - i_2) \text{ adj.}}$ znajdu-
jemy stąd η_i , odpowiadające warunkom pomia-
ru, które możemy porównać z uprzednio obliczo-
nym η_i gwarantowanym,

Jak widzimy, dla uskuteczenia tych obli-
czeń należy przeprowadzić pomiary ciśnienia
i temperatury pary przed i za turbiną.

O ile mierzenie ciśnienia z pewną dokładno-
ścią jest dostatecznie możliwe, o tyle sposób
określania temperatury pary w praktyce musi



Rys. 1.

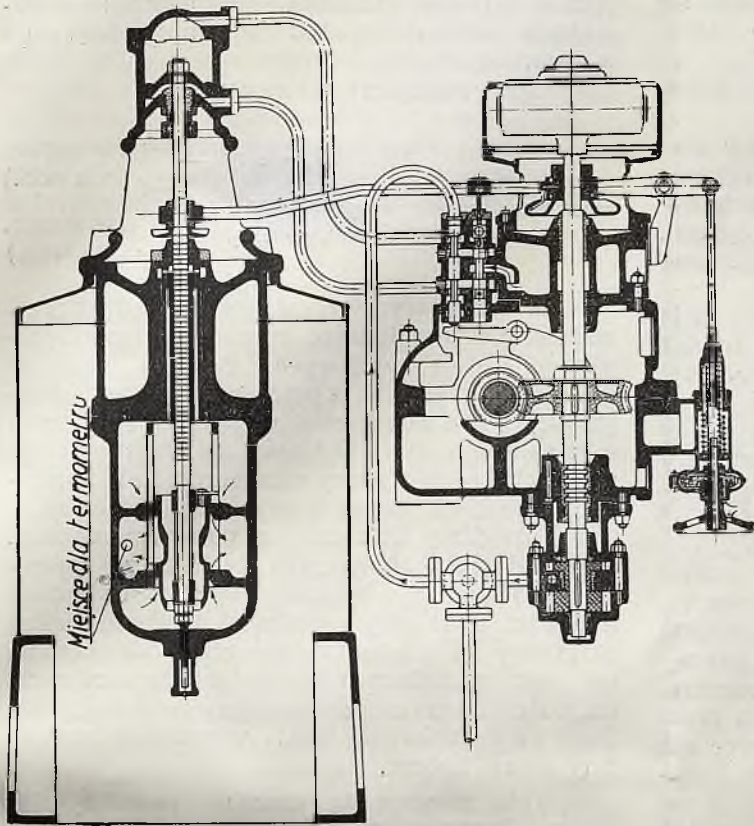
wzbudzać często wątpliwości. Nie chodzi nam
tu o niedokładność samego termometru lub sto-
sowanie poprawek na wystający słupek rtęci. Te
sprawy są unormowane i sposób przeliczania
ustalony, interesuje nas pytanie, o ile określona
przez pomiar np. temperatura wlotowej pary
jest zgodna z rzeczywistością. Okazuje się, iż
różnice bywają niekiedy znaczne, a to wskutek
niewłaściwego przede wszystkim umieszczenia
przez dostawcę tulejki na termometr pomiarowy.

Tulejki te, zakładane przez dostawcę przy
montażu turbiny, umieszczane są często w ka-
dłubie nieizolowanym, lokowane w miejscach nie-
zupełnie właściwych, przytem czasami osadzone
poziomo. Termometr, pogrążony w tak niewła-
ściwie umieszczonej tulejce, daje wskazania niższe,
niż rzeczywista temperatura przepływającej pary.

Jest to nawet na rękę dostawcy, bowiem
jeżeli określona w czasie prób temperatura pary
wlotowej jest niższa od podanej w gwarancji, to
na każde 5 — 7° odchylenia temperatury otrzy-
mane rezultaty zużycia pary należy zmienić o 1%
na korzyść dostawcy. Jasne jest tedy, że dostaw-
ca nie jest zainteresowany w wykazywaniu wy-
sokiej temperatury pary wlotowej. Tego rodzaju
pomiary wprowadziły niejednego w błąd.

Dla przykładu załączamy tu rysunek komo-
ry regulacyjnej, stosowany przez jedną z wytwór-
ni turbin parowych (rys. 1).

Tulejka dla termometru pomiarowego osadzona jest tu wprawdzie pionowo, umieszczona jest jednak w przestrzeni martwej, niedostatecznie omywanej prądem pary wlotowej. Ponadto



Rys. 2a.

znajduje się ona pod wpływem promieniowania sąsiednich ścian kadłuba, co gorsza, niez izolowanych.

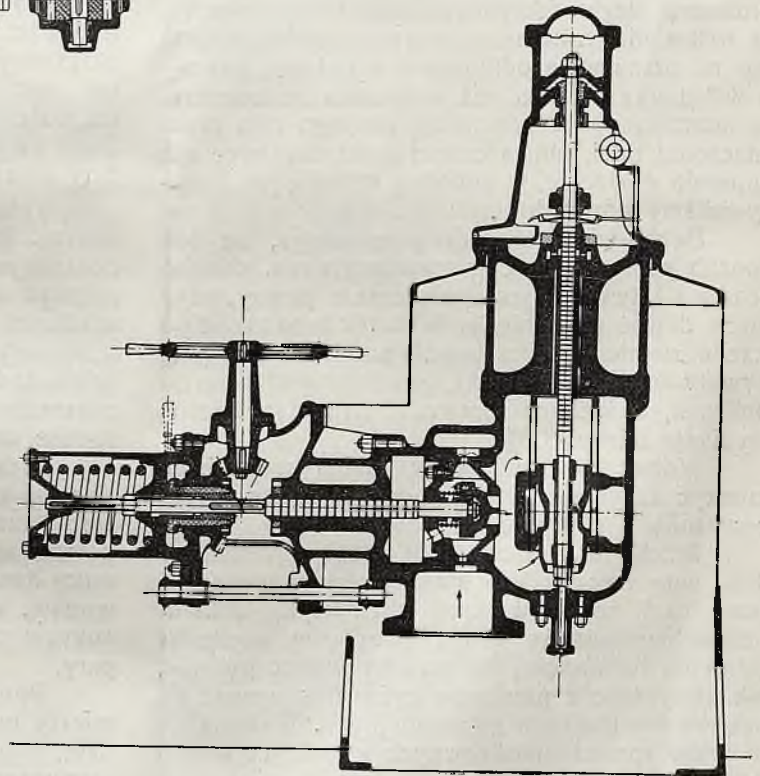
Więcej jeszcze odbiegają od prawdy wskazania termometru, gdy umieszcza się go w samym wencie między obydwoma siedłami zaworu (rys. 2), sama zaś tulejka osadzona bywa czasem poziomo, co nie daje możliwości napełnienia jej końca materiałem, ułatwiającym przewodnictwo ciepła między parą, a słupkiem rtęci termometru.

Podczas badań odbiorczych pewnej turbiny o większej mocy została zakwestjonowana prawidłowość wskazań tak umieszczonego termometru, i na żądanie odbiorcy został wstawiony dodatkowy termometr, który umieszczono na przewodzie bezpośrednio przed zaworem. Podczas pomiarów notowano wskazania jak termometru umieszczonego na przewodzie, tak i termometru znajdującego się w przeznaczony dla

niego tulejce między siedłami zaworu; okazało się, że przy dużych obciążeniach, a więc przy zapełnieniu potokiem pary całej komory regulacyjnej, różnice tych wskazań wyniosły ok. 3°, zaś przy małych obciążeniach termometr, ustawiony na przewodzie przed wentylem wskazywał nawet o 9° wyższą temperaturę, niż termometr w tulejce.

Dlatego słusznym jest stawiane w niektórych państwach przy odbiorach żądanie, aby temperatura pary wlotowej mierzona była na dobrze izolowanym prostym przewodzie przed zaworem, gdzie umieszczona pionowo tulejka winna dochodzić aż do środka przewodu.

Powracając do omawianego wyżej sposobu sprawdzania gwarantowanej sprawności termodynamicznej za pomocą pomiarów rzeczywistych temperatur i ciśnień, należy zaznaczyć, że różnica kilku stopni w oznaczeniu temperatury pary może nie mieć decydującego znaczenia przy odbiorze



Rys. 2b.

turbiny ze znacznym spadkiem ciepłika (np. w turbinach czysto kondensacyjnych); gdy jednak chodzi o turbiny z małym spadkiem ciepłika, jak turbiny przeciwprężne lub turbiny z po-

bieraniem pary, nieznacznym błędem w określeniu temperatury pary może się odbić bardzo dotkliwie na ostatecznych wynikach obliczeń, przeprowadzonych w ten sposób.

Z temi samymi zastrzeżeniami trzeba się odnieść do mierzenia temperatury pary odlotowej.

Przytoczymy tu dla przykładu wyniki jednego z naszych badań:

Dla pary wlotowej prężność = 8,5 ata., temperatura 250° C. Dla pary wylotowej prężność = 4,5 ata, temperatura = 215° C. W tych warunkach spadek adyabatyczny ciepłika = 33 ciepł., zaś rzeczywisty — 14 ciepł. Sprawność termodynamiczna = 0,425.

Gdyby temperatura pary odlotowej była wyższa o 5°, t. j. wynosiła 220° C, to spadek adyabatyczny ciepłika pozostałby niezmienny, zaś spadek rzeczywisty wynosiłby 11,5 ciepł. Sprawność termodynamiczna wyniosłaby wtedy 0,348, czyli przy podwyższeniu temperatury pary odlotowej o 5° sprawność termodynamiczna zmieniłaby się o 0,425 — 0,348 = 0,077, co na 1° zmiany temperatury wynosi średnio aż 3,6%.

Przeprowadzane przez nas badania z innymi turbinami tejże fabryki budującej wykazywały, że wskazania termometru, ustawionego bezpośrednio na przewodzie odlotowym z turbiny, były o 20° nieraz wyższe, niż wskazania termometru, umieszczonego w specjalnie do tego celu przeznaczonej tulei, umieszczonej przez dostawcę nie zupełnie właściwie, w podobny sposób, jak wskazywaliśmy poprzednio.

Dochodzimy więc do przekonania, że ten sposób sprawdzania cyfr gwarancyjnych, chociaż prosty i łatwy, nie jest dostatecznie pewny, gdyż może dawać duże błędy. Wskutek tego uznać go trzeba za niedopuszczalny dla pomiarów ścisłych; byłyby bowiem wypadki, gdy doprowadzał on do obliczeń, z których sprawność termodynamiczna wynikała blisko 100%.

Wobec tego należy w takich wypadkach mierzyć zużycie pary zapomocą paromierzy, zapatrzonych w dyszę.

Jeżeli już tą czy inną drogą określiliśmy ilość pary rzeczywiście przepływającej przez turbinę, jeżeli już z większą lub mniejszą dokładnością uzyskaliśmy drogą pomiarów wielkości ciśnienia i temperatur, to stajemy wobec pytania, jak otrzymane z pomiarów cyfry dostosować do danych w warunkach gwarancyjnych. Wyłania się tu znów sprawa nieodzownych w praktyce wahań w obciążeniach i związanych z tem tolerancyj.

To, co mówiliśmy w poprzedniej notatce w stosunku do turbin czysto kondensacyjnych, powinno naszym zdaniem, dotyczyć również turbin przeciwprężnych i turbin z pobieraniem pary. Zatem wahania obciążeń w granicach 5% nie powinny wymagać jakichkolwiek poprawek w cyfrach zużycia pary. Dopiero gdy wahania obciążeń przekraczają te granice, należałoby wprowadzać poprawki, uwzględniając jednak tylko odchylenia od tych 5-cio procentowych wahań.

Przeliczenie zużycia pary na warunki gwarancyjne, w uwzględnieniu różnic między rzeczywistymi, a podawanymi w ofercie ciśnieniami i temperaturami, należałoby, naszym zdaniem, opierać tylko na stosunku spadku ciepłika w warunkach próby do spadku ciepłika, podawanego w gwarancjach.

Operowalibyśmy takim wzorem:

$$G \text{ rzecz. } x = G \text{ zmierz. } \frac{(i_1 - i_2) \eta_i - \frac{Ac^2}{2g} \text{ (w warunkach odb.)}}{(i_1 - i_2) \eta_i - \frac{Ac^2}{2g} \text{ (w warunkach gwar.)}}$$

W powyższym wzorze możnaby jednak przeważnie nie uwzględniać sprawności termodynamicznej i strat wylotowych. Bowiem mamy tu zawsze do czynienia z pracą w sferze pary przegrzanej, gdzie odchylenia w sprawności termodynamicznej i straty wylotowe dla turbin przeciwprężnych są najczęściej nieznaczące i dla uproszczenia obliczeń można je przeważnie pominąć.

Przejdźmy do turbin z pobieraniem pary. Przy badaniach odbiorczych tych turbin przeliczenia i pomiary jeszcze większe nastęrczają trudności. Ilość pary uchodzącej do kondensatora określamy tu wprost drogą mierzenia skroplin; tak, jak w turbinach czysto kondensacyjnych; trudności natomiast powstają przy określaniu bądź ilości pary pobieranej bądź całkowitego zużycia pary przez turbinę.

Tutaj musimy się uciec do pomocy paromierzy. Paromierzem, jako przyrządem niezbyt dokładnym, prawidłowiej byłoby, naszym zdaniem, mierzyć ilości pobieranej pary, jako mniejszej wielkości w stosunku do całkowitej ilości pary wlotowej. Do tak uzyskanej cyfry pary należy tylko dodać ilość pary odlotowej, uzyskaną drogą mierzenia kondensatu, a otrzymana suma wyrazi ogólne zużycie pary przez turbinę.

Niekiedy jednak dostawca lub odbiorca żąda, aby dla całkowitego zużycia pary miarodajną była cyfra, uzyskana zapomocą paromierza na parze dolotowej. Wówczas uciekamy się często do pomocy dwóch paromierzy z których jeden na przewodzie, doprowadzającym parę, mierzy ogólne zużycie pary, drugi zaś podaje ilości pobieranej pary.

Ponieważ wówczas wskazania obu paromierzy nie zawsze będą ze sobą w zupełnej zgodzie, koniecznym jest w tym wypadku, aby przed rozpoczęciem badań odbiorczych, obie strony wspólnie zdecydowały, notowania którego paromierza w razie sprzeczności wskazań będą uznane za miarodajne.

Również przed próbą musi być wyjaśnione, czy dostawca dla wskazań paromierza żąda uwzględnienia 5% tolerancji; w tym wypadku przy ustalaniu w czasie pomiaru ilości pobieranej pary należy od razu odrzucać 5% od cyfry, wskazywanej przez paromierz, ustawiony na pobieraniu pary, czyli ustawiać wprost turbinę na pobiera-

nie o 5% wyższe (według wskazań paromierzu), niż podane w umowie. Innymi słowy do wzoru obliczeniowego paromierza wprowadzałoby się współczynnik 0,95, niezależnie od współczynnika, ustalonego przy cechowaniu dyszy paromierza.

Niesłusznym bowiem jest żądanie, stawiane przez jedną z największych wytwórni turbin parowych, aby uzyskane w czasie pomiarów ilości pobieranej pary zmniejszać o 5% i w ten sposób przeliczać zużycie pary na 1 kWh; zaś tak otrzymane cyfry zużycia pary przyrównywać do cyfr gwarantowanych, odniesionych do rzeczywiście zmierzonej, a nie zmniejszonej o 5%, ilości pobieranej pary.

Jak niesłuszne jest takie postępowanie, wyjaśnimy na przykładzie

Obciążenie odbieranej turbiny = 4000 kW, paromierz, ustawiony na pobieraniu, wykazuje 20000 kg/h pary pobieranej. Ilość skroplin wynosi 2000 kg/h. Zatem całkowite zużycie pary przez turbinę stanowi 20000 + 2000 = 22000 kg/h czyli 5,5 kg/kWh.

Dostawca żąda 5% tolerancji dla wskazań paromierza, t. j. uważa, że na pobieranie idzie nie 20000 kg/h pary, lecz 20000 - 0,05 · 20000 = 19000 kg. Zużycie pary wynosiłoby wtedy 19000 + 2000 = 21000 kg/h, czyli nie 5,5, jak poprzednio, lecz tylko 5,25 kg/kWh.

Dostawca żąda teraz, aby tę ostatnią cyfrę porównywać z gwarantowanym zużyciem pary przy pobieraniu nie 19000 kg/h, lecz 20000 kg/h. W tym ostatnim wypadku cyfra gwarantowana przez dostawcę, wynosi 5,3 kg/h, a więc gwarancja byłaby dotrzymana. Gdyby zaś przyjąć, jak należy, gwarantowane zużycie pary dla pobierania 19000 kg/h, to ponieważ w tym wypadku gwarancja dostawcy wynosi tylko zużycie 5,1 kg/kWh, otrzymalibyśmy przekroczenie gwarancji o różnicę 5,25 - 5,1 = 0,15 kg/kWh, czyli o około 3%.

Rozważmy teraz, jak przy badaniach odbiorczych turbin z pobieraniem pary radzić sobie z przeliczeniem na warunki gwarancyjne cyfr uzyskanych z pomiarów. Ogólną ilość przepływającej przez turbinę pary możemy rozdzielić na dwa potoki: para, pobierana z turbiny i para, płynąca aż do skraplacza. Ogólne więc zużycie pary przez turbinę możemy wzrzącić sumą: $G \text{ całk.} = G \text{ pobier.} + G \text{ kondens.}$

Ilość pary, idąca do kondensatora G_{kond} możemy przeliczyć na warunki gwarancyjne w ten sam sposób jak dla turbiny kondensacyjnej, t. j. według poprzedniej naszej notatki

$$G = G \frac{(i_1 - i_2) \eta t - \frac{Ac^2}{2g}}{(i_1 - i_2) \eta t - \frac{Ac^2}{2g}} \quad (\text{w war. odb.})$$

$$\begin{matrix} G & = & G \\ \text{Kond.} & & \text{Kond.} \\ \text{rzecz.} & & \text{zmierz.} \end{matrix} \frac{(i_1 - i_2) \eta t - \frac{Ac^2}{2g}}{(i_1 - i_2) \eta t - \frac{Ac^2}{2g}} \quad (\text{w war. gwar.})$$

Również ilość pary pobieranej z turbiny na cele fabrykacyjne, możnaby było przeliczyć według wyżej wskazanych metod, uważając część

turbiny przed pobieraniem pary za turbinę przeciwną.

Wówczas

$$G = G \frac{(i_1 - i_2) \text{ (w warunk. odbior.)}}{(i_1 - i_2) \text{ (w warunk. gwar.)}}$$

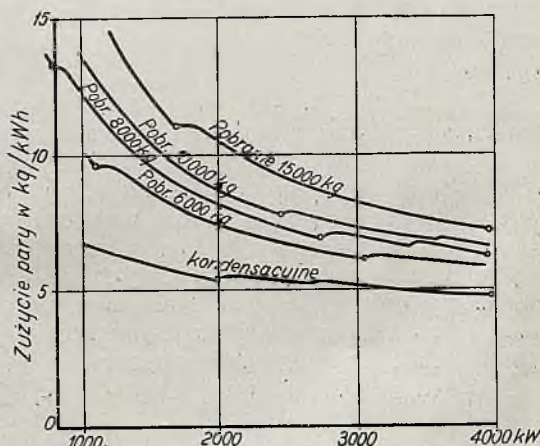
$$\begin{matrix} G & = & G \\ \text{pobier.} & & \text{pobr.} \\ \text{rzecz.} & & \text{zmierz.} \end{matrix}$$

Idąc tą drogą, uporabimy się z korekturami ze względu na odchylenia temperatur i ciśnień od warunków gwarancyjnych. Jednak tak uzyskanych wyników nie możemy jeszcze przyrównywać do cyfr gwarantowanego zużycia pary.

Jak dotychczas, dla turbin z pobieraniem pary dostawca korzysta zwykle z jednego z niżej podanych sposobów podawania gwarancji.

Pierwszy sposób polega na tym, że dostawca przed odbiorem turbiny podaje wykres z szeregiem krzywych, gdzie na osi odciętych odłożone są obciążenia w kW, zaś na osi rzędnych — zużycie pary w kg/kWh. Poszczególne krzywe wskazują cyfry gwarantowanego zużycia pary przy różnych ilościach pary pobieranej.

Załączony rys. 3 przedstawia dla przykładu taki wykres.



Rys. 3.

Drugi sposób polega na tym, że dla pewnych określonych obciążeń i dla pewnych określonych ilości pobieranej pary dostawca podaje pewne gwarantowane ilości pary dołotowej do turbiny. Nie mamy tu więc ciągłych krzywych, lecz tylko pewne oderwane ich punkty. Lecz i ten sposób sprowadza się do gwarantowania pewnego zużycia pary przy określonych ciśnieniach, temperaturach i ilościach pobieranej pary.

Oba przytoczone sposoby są jednakowo prawidłowe, jednakże ten drugi sposób jest w praktyce uciążliwszy, zmuszając prowadzących pomiary do wprowadzania dodatkowych przeliczeń.

Wymaga on bowiem w czasie pomiarów utrzymywania się przy pewnych określonych

obciążeniach i pewnych określonych ilościach pobierania pary.

Co się tyczy obciążeń, to ponieważ cyfra gwarantowana jest wielkością stałą dla odchyień obciążeń w granicach $\pm 5\%$, sprawa ta nie przedstawia zwykle poważniejszych trudności. Natomiast ilości pobieranej pary w czasie pomiarów, szczególnie dłuższych, nie da się często utrzymać na pożądanej wysokości i wówczas otrzymane z pomiarów cyfry należy przeliczać na warunki gwarancyjne.

Przeliczanie to polega na wyrównaniu w stosunku do różnicy spadków adyabatycznych, a mianowicie: jeżeli ilość pobieranej w czasie pomiarów pary była niższa od podanej w gwarancji, to różnicę między temi ilościami należy dodać do ogólnego zużycia pary uważając, jakgdyby ta różnica dodatkowo przechodziła przez część wysokoprężną turbiny; następnie określamy stosunek adyabatycznego spadku ciepłota, jaki zachodzi tylko w części wysokoprężnej turbiny, do adyabatycznego spadku ciepłota, zachodzącego w całej turbinie t. j. od wlotu pary aż do kondensatora. Mnożąc przez ten stosunek nasz niedobór pobieranej pary, otrzymujemy cyfrę, o którą należy zmniejszyć ilość otrzymywanego kondensatu. O taką cyfrę zmniejszamy teraz podwyższoną w początkowych przeliczeniach ilość pary dolotowej. Z tą ostateczną cyfrą możemy dopiero porównywać gwarantowane przez dostawcę zużycie.

W wypadku, jeżeli ilość pobieranej pary była w czasie pomiarów wyższa od gwarancyjnej w stosunku do notowanego obciążenia i ogólnego zużycia pary, postępujemy analogicznie, lecz odwrotnie: nadwyżkę ilości pobieranej pary odejmujemy od ilości ogólnego zużycia, a mnożąc tę nadwyżkę przez stosunek adyabatycznych spadków, powiększamy o tę cyfrę ilość otrzymanego kondensatu, powiększając o tyle zmniejszoną początkowo liczbę ogólnego zużycia pary.

Dla osiągnięcia większej dokładności zamiast stosunku $\frac{i_1 - i_2}{i_1 - i_2}$ wysokopr. można byłoby wprowadzić tenże stosunek z uwzględnieniem różnic sprawności t. j.

$$\frac{(i_1 - i_2) \eta \text{ wysokopr.}}{(i_1 - i_2) \eta \text{ całk.}}$$

Przytoczony przykład wyjaśni sposób takiego przeliczania.

Badamy turbinę przy obciążeniu 4000 kW. Ciśnienie pary wlotowej 16 ata, temperatura u wlotu — 350°. Ciśnienie pary pobieranej — 3,5 ata, zaś ciśnienie w kondensatorze — 0,03 ata. Dla pary idącej do kondensatora adyabatyczny spadek ciepłota wynosi 241,6 ciepł. zaś dla pary pobieranej adyabatyczny spadek ciepłota = 85,2 ciepł.

Według gwarancji przy obciążeniu 4000 kW i przy pobieraniu 15000 kg/h pary, całkowite zużycie pary winno wynosić 28800 kg/h, czyli na 1 kWh — 7,2 kg.

W czasie próby pobierano tylko 13000 kg/h pary, przyczem ogólne zużycie pary przez turbinę wynosiło 28000 kg/h. Wobec widocznej stąd różnicy w ilości pobieranej pary, dla porównania rzeczywistego zużycia pary z gwarantowaniem wprowadzamy następujące przeliczenie: do otrzymanego z pomiarów zużycia pary 28000 kg/h, dodajemy różnicę ilości pobieranej pary 15000 kg/h — 13000 kg/h = 2000 kg/h. Podwyższone w ten sposób zużycie całkowite pary wyraziłoby się więc liczbą 28000 + 2000 = 30000 kg/h. Wskutek tego zwiększenia ilości dolotowej pary moc turbiny zwiększyłaby się teoretycznie o

$$\frac{2000 \cdot 85,2}{860} \eta_e \eta_{dyn.} \text{ kW}$$

wykonywaną przez 2000 kg pary części wysokoprężnej.

Aby jednak obciążenie 4000 kW pozostało bez zmiany, należy zmniejszyć wywołane tą nadwyżką obciążenie, a to drogą zmniejszenia ilości pary, przechodzącej do kondensatora, jak w danym wypadku o wielkość

$$\frac{2000 \cdot 85,2}{241,6} = 706 \text{ kg/h}$$

która to ilość wykonywała by pracę w części wysoko i niskoprężnej.

(Dla uproszczenia przyjmujemy tu sprawność termodynamiczną jednakową jak dla części wysokoprężnej, tak i dla całej turbiny).

Zmniejszając teraz o powyższą liczbę przyjęte przez nas całkowite zużycie pary, otrzymamy, że turbina przy pobieraniu 15000 kg/h zużywała 30000 kg/h — 706 kg/h = 29294 kg/h. Jest to ostateczna cyfra zużycia ogólnego pary, którą możemy wprost porównać z cyfrą, gwarantowaną przez dostawcę.

Ponieważ zużycie pary 29294 kg/h równa się zużyciu 7,32 kg/kWh, zaś gwarantowana przez dostawcę cyfra, jak zaznaczaliśmy, miała wynosić 7,2 kg/kWh musimy więc w tym wypadku skonstatować przekroczenie gwarancji o 7,32 — 7,2 = 0,12 kg/h, czyli o $\infty 1,8\%$.

Na zakończenie pragniemy jeszcze poruszyć pytanie, czy wszystkie punkty gwarancji winny być przy odbiorze turbiny sprawdzane.

Dla turbin z pobieraniem pary oferta dostawcy podaje często gwarancje dla wielu np. 9—10 różnych obciążeń i ilości pobieranej pary. Przeprowadzenie pomiarów, obejmujących tak znaczną ilość punktów, jest żmudne i kosztowne, a często ze względów na warunki, w jakich się ruch danego zakładu przemysłowego odbywa, nawet niemożliwe.

Jak dotychczas, ostateczne stwierdzenie, czy gwarancje zostały przez dostawcę dotrzymane, następuje albo według punktu, który daje największe odchylenie od gwarancji, albo według wszystkich punktów, na które gwarancje podane są w umowie; w tym ostatnim wypadku przyjmuje się za podstawę obliczeń średnią arytmetyczną wszystkich odchyień od gwarancji.

Dotychczasowa więc praktyka upoważnia dostawcę do stawiania żądań, aby wszystkie

punkty oferty były podczas odbioru sprawdzone, i w wypadku, gdyby choć co do jednego punktu pomiarów nie udało się przeprowadzić, dostawca ma możność zakwestjonowania miarodajności odbytych badań odbiorczych.

Należy, naszym zdaniem, ograniczyć ten przywilej dostawcy, tembardziej, iż sama zasada wychodzenia ze średniej arytmetycznej wyników ma swoje słabe strony.

Odbiorca, zamawiając turbinę, interesuje się głównie gwarancjami dostawcy na zużycie pary przy obciążeniach, bliskich do całkowitego; mniejszą też przeważnie zwraca uwagę na gwarancje dla małych obciążeń, które są dla niego mniej ważne. Jeżeli, uwzględniając psychologię nabywcy, dostawca poda mu wysokie cyfry gwarancyjne zużycia pary dla niektórych mniej ważnych obciążeń, to ma następnie możność sztucznego polepszenia na swoją korzyść ostatecznych obliczeń.

Bowiem przy tym sposobie obliczeń ewentualne przekroczenie gwarantowanego zużycia pary przy pełnym obciążeniu turbiny zostanie pokryte przez procentowo lepsze wyniki przy pomiarach odbiorczych na mniejsze obciążenie.

W takich wypadkach wyniki badań odbiorczych mogłyby często dla odbiorcy okazać się mało celowymi.

Dlatego zamiast przytoczonych tu stosowanych dotychczas sposobów porównań uważalibyśmy za racjonalniejsze wprowadzenie zasady,

aby dla ostatecznego porównania z gwarancją miarodajną była średnia arytmetyczna odchyżeń z trzech lub 4-ch tylko punktów, dowolnie wybranych przez odbiorcę.

Dla dostawcy nie przedstawiałoby specjalnych trudności takie postawienia sprawy, gdyż na mocy obliczeń, uzupełnionych badaniami i próbami, ma on możność zawnazu ustalić granice swoich gwarancyj; praktycznie zaś miałoby to tę wielką zaletę, że dawałoby możność ograniczenia pomiarów odbiorczych do trzech wybranych punktów.

Niezależnie od tego należałoby w normach odbiorczych zaznaczyć, że bezstronny rzeczoznawca zawsze ma prawo sprowadzić badania odbiorcze turbiny do pomiaru trzech punktów, oznaczonych przez niego przed przystąpieniem do odbioru, a wyniki tych trzech pomiarów mają być dla obydwu stron wyczerpujące i obowiązujące.

Nie wątpimy, iż poruszone w niniejszej notatce sprawy obejmują część zaledwie trudności i kwestyj spornych, powstających przy odbiorach turbin parowych. Życie nieustannie wysuwa coraz to nowe zagadnienia i wątpliwości. Bardzo więc chętnie usłyszelibyśmy inne uwagi w tej sprawie, co pozwoliłoby wszechstronniej wyjaśnić istniejące trudności. Posunęłoby to sprawę ostatecznej krystalizacji norm odbiorczych i ułatwiłoby zgodną współpracę odbiorców z dostawcami.

Łódź, sierpień 1929 r.

Prof. CZ. GRABOWSKI.

ZASADY HYDRAULICZNEJ TEORJI CIĄGU NATURALNEGO.

(por. *Technika Ciepła*, 1929, str. 183).

4. Siła ciągu a sprawność komina.

Zastanawiając się bliżej nad równaniami (29 — 34) (w rozdz. 3 podanemi, zauważymy, że $A - H_M = h_M$ — będą to wskazania ciągomierza wodnego w punkcie M ; w podobny sposób $A - H_z = h_z$ — wskazania ciągomierza wodnego koło zasuwy.

W *praktyce* wskazania ciągomierza przed zasuwą przyjęto uważać za siłę ciągu w danej chwili, aczkolwiek teoretycznie za siłę ciągu danej instalacji lepiej byłoby uważać wskazania ciągomierza za zasuwą.²⁴⁾ A zatem na podstawie równań (29 i 32) otrzymamy

$$A = H_z + (c_z^2 : 2g) + Z_z$$

$$A - H_z = h_z = Z_z + (c_z^2 : 2g) \quad (36),$$

t. j. wskazania ciągomierza u zasuwy równają się energii kinetycznej gazów przechodzących przed zasuwą + sumie oporów hydraulicznych do zasuwy wyłącznie (t. j. nie licząc oporów spowodowanych samą zasuwą). Gdybyśmy jako siłę ciągu komina uważali wskazania ciągomierza za zasuwą (h'_z), to do oporów hydraulicznych należałoby doliczyć opory zasuwy.

Z drugiej strony (32, 34)

$$H_z + (c_z : 2g) + Z_z = H_K + (c_k^2 : 2g) + Z_K + k.$$

Jeżeli zwrócimy uwagę, że ciśnienie hydrodynamiczne gazów u wylotu z komina = ciśnieniu atmosferycznemu $H_K = A_0$ (na wysokości komina mierzonemu), to

$$h_z = a - k + Z_z - Z_k + \left(\frac{c_z^2}{2g} - \frac{c_k^2}{2g} \right)$$

Opory hydrauliczne od zasuwy do szczytu ko-

²⁴⁾ Racjonalne ustawienie ciągomierza za zasuwą przedstawia pewne trudności, które omówimy w jednym z następnych rozdziałów pracy niniejszej. Będzie to zatem pojęcie o charakterze raczej teoretycznym, a nie praktycznym. Inne ściśle *teoretyczne* określenie siły ciągu podane zostanie w równaniu (56).

mina oznaczmy $Z_{zh} = Z_k - Z_z$ ²⁵⁾; różnica pomiędzy energią kinetyczną gazów ($c_k^2 : 2g$) u wylotu z komina i ($c_z^2 : 2g$) u zasuwy jest wartością tak małą, że w pierwszym przybliżeniu możemy ją odrzucić²⁶⁾, a zatem

$$h_z = a - (k + Z_{zh}) \quad (37),$$

t. j. siła ciągu równa się różnicy ciśnień dwóch słupów: słupa powietrza (od górnego poziomu komina do poziomu badanego) i odpowiedniego słupa gazów w kominie powiększonego o opory hydrauliczne od zasuwy do szczytu komina (włączając lub wyłączając opory w zasuwie zależnie od miejsca, w którym siłę ciągu mierzymy).

Widzimy zatem, że siła ciągu idzie na wytworzenie energii kinetycznej gazów, wchodzących do komina i na przewyższenie oporów hydraulicznych po drodze do zasuwy (równ. 36), a z drugiej strony (równ. 37) zależy ona od różnicy ciężarów wyżej objaśnionych dwóch słupów i od oporów hydraulicznych w kominie.

Ponieważ $a = H\gamma_p : \Delta = \infty 1,3 H$; ²⁷⁾ $k = H\gamma_g : \Delta = \infty 0,7 H$, więc $h'_z = \infty 0,5 H$ (38), gdzie h'_z jest to siła ciągu komina (za zasuwa) w milimetrach słupa wody, H — wysokość komina wyrażona w metrach. Opuszczając zasuwę, stwarzamy sztuczne opory hydrauliczne, a zatem w miarę potrzeby mamy możliwość sztucznie osłabić użyteczną siłę ciągu. Wzór (38) jest jedynie wzorem orientacyjnym. W rzeczywistości dla danej instalacji kotłowej h'_z waha się w znacznych granicach zależnie od ciężarów właściwych powietrza (γ_p) i gazów kominowych (γ_g) w danej chwili i od ilości gazów przepływających przez komin.

Dla powietrza $\gamma_p = 273 \gamma_0 : T$ (gdzie γ_0 cięż. wł. w temp. 0°C, T — temperatura bezwzględna powietrza). Fikcyjny ciężar molowy suchego powietrza (t. j. średni z ciężarów molowych tlenu i azotu, wziętych w stosunku zawartości tych gazów w powietrzu = 0,21 O_2 + 0,79 N_2 = $\infty 29 \text{ gr/mol} = 29 \text{ Kg/Kmol}$ ²⁸⁾.

Dla powietrza wilgotnego o ciśnieniu p , w którym ciśnienie cząstkowe pary wodnej = p' ,

²⁵⁾ Wyłączając lub włączając opory w zasuwie zależnie od tego, czy siłę ciągu mierzymy przed zasuwą, czy za zasuwą.

²⁶⁾ Wynika to z rozważań nad wartością $c^2 : 2g$ podanych w rozdz. 3.

²⁷⁾ Jak wyżej $\Delta \text{ kg/litr} = \Delta \text{ mgr/nm}^3$ ciężar właściwy wody, γ — ciężary wł. powierza, gazów lub wody w kg/m^3 .

²⁸⁾ t. j. 29 gramów na mol (gramowy, stosowany w chemii) lub 29 kilogramów na mol techniczny kilogramowy („ Mol ” lub „ Kmol ”).

Przyjmując (jak to robimy w technice) skład powietrza 79% N_2 i 21% O_2 , ciężary atomowe $O=16$, $N=14$, otrzymalibyśmy, że ciężar molowy powietrza = 28,84. Dokładny skład powietrza (Kolbe „Flüssige Luft” str. 90): N_2 — 78,03% O_2 — 20,99%, A (argon) — 0,94%, CO_2 — 0,03%, H_2 — 0,01%. Jeżeli uwzględnimy dokładne ciężary molowe tych gazów 1) dwuatomowych $N_2=28,0176$; $O_2=32,0$, $CO_2=44$, $H_2=2,016$, 2) jednoatomowych $A=39,92$ — to ciężar molowy powietrza = 28,966 $\infty 29$ (jak przyjęliśmy wyżej),

fikcyjny ciężar molowy $[29(p-p') + 18p'] : p = 29 - 11p' : p \dots (39)$,

Dla gazów spalinowych fikcyjny ciężar molowy będzie nieco większy: dla gazu zawierającego 10% CO_2 (według Orsat'a²⁹⁾ ciężar molowy gazu bezwodnego równa się około 30, a uwzględniając % zawartość H_2O (równą $100p':p$), otrzymamy:

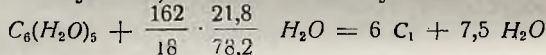
$$[30(p-p') + 18p'] : p = 30 - 12p' : p \dots (40)^{29)}$$

Jak ogólnie wiadomo, ciężary właściwe gazów (według prawa Avogadry) proporcjonalne są do ciężarów molowych³¹⁾, a więc zawartość H_2O zmniejsza wyraźnie ciężary właściwe zarówno powietrza, jak i gazów spalinowych.

Siła ciągu będzie zatem tem większa, im powietrze jest cięższe, a więc im niższą temperaturę ono posiada, im wyższe jest ciśnienie barometryczne i im mniej powietrze zawiera wilgoci. To też podczas silnych mrozów możemy obserwować ciąg znacznie większy niż podczas słotnej jesiennej pogody.³²⁾

²⁹⁾ Przy pomocy aparatu Orsat'a określamy skład gazu bezwodnego, t. j. po wyeliminowaniu H_2O .

³⁰⁾ Dla przykładu podaję obliczenie ciężaru molowego gazów, otrzymanych przy spalaniu drzewa z dwukrotnością powietrza, (t. j. gdy współczynnik nadmiaru powietrza $n=2$), gdy drzewo to zawiera około 21,8% wilgoci. Dla uproszczenia przyjmujemy, że suchą substancję (78,2%) drzewa stanowi celuloza o składzie $C_6(H_2O)_5$, o ciężarze molowym 162, a zatem chemiczny skład drzewa będzie



Spalanie przy $n=2$ wyrazi nam równanie

$$6 C + 7,5 H_2O + 2 \cdot 6 (O_2 + \frac{79}{21} N_2) = 6 CO_2 + 6 O_2 +$$

$$12 \frac{79}{21} N_2 + 7,5 H_2O \dots \dots \dots 41$$

Widzimy zatem, że gaz bezwodny na 79% objętościowych N_2 zawiera 21% $CO_2 + O_2$ w równych objętościach, t. j. 10,5% CO_2 , 10,5% O_2 i 79% N_2 . Fikcyjny ciężar molowy takiego bezwodnego gazu będzie $(10,5 \cdot 44 + 10,5 \cdot 32 + 79 \cdot 28) : 100 = 30,1$. Na 100 moli gazu bezwodnego (równ. 41) otrzymamy 7,5, $21:12 = 13,125$ moli H_2O w gazie, a zatem stosunek ciśnienia cząstkowego (p') pary wodnej do ciśnienia sumarycznego (p) równać się będzie $13,125 : 113,125 = 0,1162$. Ciężar molowy gazów z uwzględnieniem H_2O będzie $30,1(1 - 0,1162) + 18 \cdot 0,1162 = 28,7$.

Na obliczeniach tych zatrzymałem się nieco bliżej, aby czytelnikom naszym podać jeszcze jedną formę obliczeń systemem molowym, o których mówiłem już w N 8 r. 1927 str. 78 „Techniki Ciepłej” w artykule: „Wartość opała jako pojęcie techniczne”.

³¹⁾ 1 mol gramowy w 0° i pod ciśnieniem 760 mm Hg zajmuje objętość 22,4 litr., czyli objętość molowa w danych warunkach wynosi 22,4 litr/mol = 22,4 m³/Kmol.

³²⁾ Porównując ciężary molowe powietrza nasyconego wilgocią w +10° i -20° C, t. j. gdy $p' = 0,0125 \text{ kg/cm}^2$ i 0,96 mm Hg (prof. Stefanowski. Termodynamika str. 195 i 196) dochodzimy do wniosku że różnią się one mniej niż o 1/2%. Natomiast temperatury absolutne różnią się o 12%. Jeżeli uwzględnimy różnice ciśnień barometrycznych podczas mrozów i podczas deszczów jesiennych, a także wilgotność paliwa, zależną od warunków atmosferycznych i wpływ tej wilgotności na siłę ciągu (o czym mowa będzie dalej), to dojdziemy do wniosku, że suma omawianych wpływów decyduje o sile ciągu.

Średni ciężar właściwego powietrza w słupie o wysokości H metrów jest funkcją stopniowo malejącego ciśnienia. Sprawa ta omówiona będzie w jednym z następujących rozdziałów.

Następnie z teorii wyżej podanej wynika, że gazy uchodzące przez komin wzmacniają ciąg tem silniej, im są lżejsze, a więc im wyższą posiadają temperaturę i im więcej zawierają H_2O . O ile jednak pierwszy warunek silnego ciągu dotyczący powietrza mogliśmy przyjąć bez dalszych dyskusyj, to warunek drugi — dotyczący gazów kominowych wymaga specjalnego omówienia.

Z warunku tego bynajmniej nie można wyprowadzić wniosku, by wilgoć zawarta w paliwie powiększała siłę ciągu. Wprawdzie z paliwa wilgotnego w porównaniu z paliwem suchym otrzymujemy gazy o ciężarze właściwym (w warunkach porównawczych) mniejszym; lecz gdyby udało się nam pobrać od tych gazów tę samą ilość ciepła, co i od gazów suchych, to i wtedy z paliwa wilgotnego otrzymalibyśmy gazy kominowe o niższej temperaturze, więc przeciętny ciężar właściwy tych gazów okazałby się zmieniony nieznacznie.³³⁾ Wiemy z praktyki,

³³⁾ Ciepło zużyte na parowanie wody zawartej w paliwie obniża temperaturę gazów w palenisku; woda ta uchodzi do kominą w postaci pary przegrzanej (zwykle do 300° o ciepłe właściwem nieco wyższem niż ciepło wł. gazów suchych. T — temperaturę tych gazów wyrazić możemy wzorem

$$T = \frac{(1-\eta)W - Q - nr}{C + cn} < \frac{(1-\eta)W - Q}{C} = T_1 \quad (42)$$

gdzie W — wartość opałowa techniczna normalnego paliwa, n — zawartość dodatkowej wilgoci na 1 kg normalnego paliwa, r — ciepło parowania wody (które przyjąć możemy = 700 Kcal/kg wody — jak to wyjaśniłem na str. 48 Nr. 3 r. 1928 *Techniki Ciepłej* w wyżej wspomnianym artykule) — ηW — straty ciepła pod kotłem przez obmurowanie, fundamenty i t. p. liczone na 1 kg paliwa, V ilość m^3 gazów spalinowych otrzymana z 1 kg normalnego paliwa, C odpowiednio ciepło właściwe, c ciepło właściwe pary wodnej. Są to, rozumie się, średnie ciepła właściwe pomiędzy 0° C i temperaturą gazów kominowych. T_1 — temperatura gazów kominowych przy spalaniu paliwa normalnego. Q — ciepło pobrane przez wodę kotła (na 1 kg paliwa). Jeżeli suche gazy spalinowe zawierają 10% CO_2 i 90% azotu wraz z tlenem, to w temp. 300° średnie ciepło właściwe takich gazów wynosić będzie (według tablicy podanej na str. 83 „Termodynamiki technicznej“ prof. Stefanowskiego) $7 \times 0,9 + 9,76 \times 0,1 = 7,28$ Kcal/Kmol = 0,325 Kcal/ m^3 , a ciepło właściwe pary wodnej 8,16 Kcal/Kmol = 0,364 Kcal/ m^3 = 0,453 Kcal/kg. A więc o ile moglibyśmy zapewnić takie warunki ogrzewania kotła, by Q i η pozostały bez zmiany, to dla paliwa wilgotnego temperatura gazów kominowych byłaby niższa, niż dla paliwa normalnego.

Dla zorientowania się, jak wilgoć zawarta w paliwie wpływa na ciężar właściwy gazów kominowych rozpatrzmy następujący przykład. Węgiel o wartości opałowej technicznej $W = 6120$ Kcal daje $V = 15 m^3$ gazów spalinowych z 1 kilograma i 0,25 W strat ciepła w gazach kominowych (t. j. $1 - \eta - Q: W = 0,25$, co odpowiada około 65% skutku użytecznego instalacji kotłowej). Temperatura gazów kominowych dla węgla normalnego $T' = 300^\circ$, dla węgla z $n = 0,1$, t. j. z 10% nienormalnej wilgoci $T = 286^\circ C$. Z nienormalnej wilgoci w $0^\circ C$ otrzymamy $22,4 m^3/Kmol \times (0,1 : 18) Kmol = \frac{1}{8} m^3$ pary wodnej na 1 kg paliwa. Jeżeli ciężar molowy normalnych gazów przyjmiemy = 30, to ponieważ dla gazów wilgotnych (w równ. 40)) $\rho' : \rho = \frac{1}{8} : 15 \frac{1}{8} = \sim \frac{1}{120}$, więc ciężar molowy gazów wilgotnych wyniesie $30 - 0,1 = 29,9$. A zatem stosunek ciężaru właściwego gazów wilgotnych do ciężaru właściwego gazów normalnych równać się będzie 29,9. ($273 + 300$) : 30.559 = 1,02 chociaż nieznacznie lecz wrośnie na niekorzyść ciągu.

że paliwo wilgotne pali się znacznie gorzej od suchego: wilgoć nie ułatwia się z paliwa równomiernie, lecz destyluje w pierwszych chwilach po załadowaniu paleniska, a wtedy nadmiar pary wodnej obniża wyraźnie temperaturę gazów spalinowych tak w palenisku, jak i w kominie. Ilość gazów otrzymana w owej chwili z paliwa wilgotnego jest znacznie większa od normalnej, opory hydrauliczne niepomniernie wzrastają (w 36 równ. Z_z a w 37 równaniu Z_{zk} wzrasta), h_z wskutek tego maleje a osłabiona siła ciągu zużywa się w znacznej mierze na przewyciężenie oporów hydraulicznych (Z_z) i na nadanie szybkości parze wodnej (t. j. na oddestylowanie H_2O z paliwa), a zatem dopływ powietrza do paleniska słabnie i palenie odbywa się w zwolnionem tempie.³⁴⁾

Wreszcie „siły ciągu“ pojmowanej w sposób wyżej omówiony, nie można utożsamiać ze sprawnością kominą.

Oznaczamy górny przekrój kominą Fm^2 , ilość gazów uchodzących z kominą w ciągu sekundy G kg/sek; wtedy pod sprawnością kominą rozumieć będziemy stosunek $G : F = q$ (43), czyli q będzie to ilość gazów (w kg) uchodzących przez 1 m^2 górnego przekroju kominą w ciągu sekundy. Jeżeli oznaczymy w_k szybkość gazów u wylotu z kominą, to objętość gazów uchodzących z kominą w ciągu sekundy $V = F w_k$, a ilość (w kg) tych gazów $G = F w_k \gamma_k$, a zatem

$$q = w_k \gamma_k \dots \dots \dots (44)$$

W równaniu tem γ_k jest to funkcja składu chemicznego gazów i temperatury, co się zaś tyczy szybkości w_k gazów uchodzących z kominą, to na podstawie hydraulicznej teorii ciągu będziemy ją mogli określić jako funkcję wysokości kominą.

Podstawową zależność pomiędzy rzeczywistym układem gazowym i zastępczym układem wodnym wedł. rozdz. 3 wyraża nam równanie

$$\gamma_g w^2 : 2g = \gamma_w c^2 : 2g \quad (27)$$

(t. j. ciśnienia słupów gazu i wody odpowiadające energii kinetycznej obydwóch układów powinny być równe). W równaniu tem ciężar właściwy gazów γ_g wyrażamy w kg/ m^3 , a zatem w wyrazić musimy w metrach, a więc tak samo powinny być wyrażone odpowiednie wartości układu wodnego. Ponieważ jednak w hydraulicznej teorii układu zastępczego ($c^2 : 2g$) wyrażaliśmy w milimetrach (więc c i g wyrażone były w milimetrach), a jak mówiliśmy w rozdz. 3 ciśnienie w miligramach na milimetr kwadratowy wyraża się tą samą liczbą, co i ciśnienie wy-

³⁴⁾ Zjawiska tego nie odczuwamy lub odczuwamy je w bardzo słabym stopniu w paleniskach o działaniu mniej lub więcej zbliżonem do ciągłego, w których paliwo wysusza się stopniowo.

rażone w kilogramach na metr kwadratowy ($1 \text{ kg/m}^2 = 1 \text{ mgr/mm}^2$), więc

$$\frac{\omega^2}{2g} \gamma_g = \frac{c^2}{2g_{mm}} \Delta \dots \dots (45)$$

gdzie $g_{mm} = 10.000 \text{ mm/sek}^2$ dla odróżnienia od $g = 10 \text{ m/sek}^2$, Δ — ciężar właściwy wody w $\text{mgr/mm}^3 = \text{kg/litr}$, a γ_g — cięż. wł. gazów wyrażony w kg/m^3 .

Z porównania układów gazowego i wodnego wynika również że

$$(a-k) \Delta = H (\gamma_p - \gamma_g) \quad (46)$$

gdzie H — wysokość komina w *metrach*
Z równ (27 — 34)

$$a - k = Z_K + c^2_k : 2g_{mm}$$

Ponieważ hydraulika przyjmuje, że opory hydrauliczne są funkcją energii kinetycznej, więc możemy napisać, że

$$(a - k) \Delta = \Delta \Psi c^2_k : 2g_{mm} \quad (47)$$

gdzie współczynnik Ψ posiadać będzie wartość zmienną zależną od hydraulicznych i termicznych warunków przepływu gazów³⁵⁾. A zatem z równań (45 — 47) znajdziemy, że

$$H (\gamma_p - \gamma_g) = \Psi \gamma_g \omega_k^2 : 2g, \text{ skąd}$$

$$\omega_k = \sqrt{\frac{2gH}{\Psi} \frac{\gamma_p - \gamma_g}{\gamma_g}} = \sqrt{\mu \frac{\gamma_p - \gamma_g}{\gamma_g}} \quad (48)$$

$$\text{gdzie } \mu = 2gH : \Psi \dots \dots (49)$$

Sprawność komina (równ. 44)

$$q = \omega_k \gamma_g = \sqrt{\mu} \sqrt{(\gamma_p - \gamma_g) \gamma_g} = \sqrt{\mu} \sqrt{Y} \quad (50) \text{ gdzie } Y = (\gamma_p - \gamma_g) \gamma_g \quad (51)$$

W równaniu (50) $\sqrt{\mu}$ wyrażamy w m/sek . \sqrt{Y} w kg/m^3 , co odpowiada q wyrażonemu w $\text{kg/m}^2 \times \text{sek}$.

Rozpatrzywszy bliżej wartości Y i μ . Znajdźmy przedewszystkiem maximum Y .

$dY : d\gamma_g = \gamma_p - 2\gamma_g = 0$ wtedy, gdy $\gamma_p = 2\gamma_g$ (52), a ponieważ

$d^2 Y : d\gamma_g^2 = -2 < 0$, więc Y będzie miało najwyższą wartość, gdy $\gamma_p = 2\gamma_g$.

Ponieważ ciężary molowe powietrza i gazów spalinowych różnią się nieznacznie (29 i 30), więc możemy przyjąć, że $\gamma_g : \gamma_p = T_p : T_g = (273 + t_p) : (273 + t_g) = 2$, a zatem maxi-

mum Y będziemy mieli, gdy $t_g = 273 + 2t_p$ (53), t. j. około 300°C .

O ile zatem Ψ , a więc i μ nie byłyby zależne w stopniu wyraźnym od tych wahań temperatur, od których ostatecznie zależy temperatura gazów kominowych, to największą sprawność komina moglibyśmy uzyskać w warunkach określonych równaniem (52) lub (53) t. j. gdy temperatura gazów kominowych wynosi około 300°C . W warunkach, gdy Y bliskie jest maximum

$$\sqrt{Y} = \gamma_g = \sim 0,65 \text{ kg/m}^3.$$

Zastanówmy się teraz, jaką wartość przybiera Ψ . Z równ. (29—37) (lub z bezpośredniego zastosowania praw hydrauliki do dwóch krańcowych punktów układu wodnego) wynika, że

$$a - k = Z_K + c^2_k : 2g = \Psi c^2_k : 2g = \Psi \frac{\omega_k^2}{2g} \times \frac{\gamma_g}{\Delta}$$

Z drugiej strony (37) $a - k = h_z + Z_{ZK}$ a zatem

$$\Psi = (h_z + Z_{ZK}) : \left(\frac{\omega_k^2}{2g} \frac{\gamma_g}{\Delta} \right) \quad (54)$$

Przyjmując $h_z + Z_{ZK} = 32,5 \text{ mm}$. słupa wodnego, $\omega_k = \sim 7 \text{ m/sek}$. $\gamma = 0,65 \text{ kg/mm}^3$ otrzymamy $\Psi = 20$; przy $h_z + Z_{ZK} = 26 \text{ mm}$, $\omega_k = 6 \text{ m/sek}$, $\Psi = \sim 20$; przy $h_z + Z_{ZK} = 50 \text{ mm}$, $\omega_k = 9 \text{ m/sek}$; $\Psi = \sim 19$ ³⁶⁾.

W podobny sposób możemy określić q jako funkcję „siły ciągu“ h'_z (lub h_z).

Oznaczmy $h_z + Z_{ZK} = h$ (156). Z równania (54) otrzymamy

$$\omega_k = \sqrt{\frac{2gh}{\Psi} \frac{\Delta}{\gamma_g}}, \text{ a zatem}$$

$$q = \sqrt{\frac{2gh}{\Psi} \frac{\Delta}{\gamma_g}} \quad (57)$$

W reszcie przez porównanie równ. (50) z (57) dojdziemy do wniosku, że

$$h_z = H \frac{\gamma_p - \gamma_g}{\Delta} - Z_{ZK} \quad (58)^{37)}$$

³⁶⁾ Przyjmując $\Psi = 20$, $2g = 20 \text{ m/sek}^2$, otrzymaliśmy wzór dla normalnej sprawności komina q wyrażonej w kg/sek na 1 m^2 górnego przekroju komina $q = 0,65 \sqrt{H} (55)$, gdzie H , jak zawsze, wysokość komina w *metrach*.

Rozumie się, że $\Psi = 20$ i liczby z wzoru (55) otrzymane będą tylko liczbami orientacyjnymi, które wahać się mogą w szerokich granicach zależnie od warunków hydraulicznych przepływu gazów, o czym będzie mowa w dalszym toku pracy niniejszej.

³⁷⁾ co wynikało również z wykładów orientacyjnego wzoru (38) na h_z

³⁵⁾ Co widoczne jest z przykładu podanego w rozdz. 2

A zatem $h = H (\gamma_p - \gamma_g) : \Delta$ (59) będzie to wielkość proporcjonalna do wysokości kominia związana ze sprawnością kominia q równaniem (57), w którym h występuje analogicznie do H w (50) wzorze na q . Więc wielkość h możemy również uważać za miarę siły ciągu³⁸⁾, lecz dla odróżnienia od h_z i h'_z będziemy ją uważali jako „teoretyczną siłę ciągu”. Ponieważ główne opory hydrauliczne zachodzą na rusztach i w kanałach kotła parowego, więc w wielu wypadkach możemy przyjąć, jakoby $h'_z = \infty h$. Opory hydrauliczne sztucznie stwarzane przez zasuwę służą jako regulator, który zmniejsza wyzyskanie teoretycznej siły ciągu (h), więc jedynie przy otwartej zasuwie $h_z = \infty h$.

Tak więc na podstawie równań (50) i (57) w rozdziale niniejszym wprowadzonych, dojdziemy do następujących wniosków.

³⁸⁾ Jak to znajdujemy w dziele prof. Bolesława Tołkoczki „Kotły parowe“ (cz. III, str. 200. Wydanie Komisji T-wa Bratn. pomocy stud. Politechniki Warszawskiej r. 1927. W dziele tem siła ciągu oznaczona została Z_t).

Sprawność kominia (obliczana w kilogramach gazów uchodzących w ciągu sekundy przez 1 m² otworu wylotowego kominia 1) jest proporcjonalna do pierwiastka kwadratowego z wysokości kominia H lub do pierwiastka kwadratowego z h — t. zw. siły ciągu *teoretycznej* (która jest pojęciem zbliżonym do pojęcia siły ciągu, stosowanego w praktyce),

2) zależy od temperatur powietrza i gazów odlotowych, dla których optimum wyraża nam równ (52) lub (53);

3) sprawność ta jest odwrotnie proporcjonalna do $\sqrt{\Psi}$ gdzie Ψ — „sumaryczny współczynnik” oporów hydraulicznych, które gazy spotykają na swej drodze począwszy od popielnika i skończywszy na kominie; współczynnik ten jest skomplikowaną funkcją hydraulicznych i termicznych warunków, w których powietrze, tworząc gazy spalinowe, przepływa przez instalację kotłową³⁹⁾.

³⁹⁾ Rozumie się, że wzory (50) i (57) słuszne będą jedynie dla warunków w rozdz. 3 ściśle sformułowanych. Sprawa opuszczenia w dół paleniska i różnicy poziomów kanałów domowych omówiona zostanie w dalszym toku pracy niniejszej. (d. c. n.)

Z. KLĘBOWSKI, inż.

OBLICZENIA WYTRZYMAŁOŚCIOWE.

(Por. *Techn. Ciepłna* 1929, 158 str.).

Badania doświadczalne laboratorjów zagranicznych, a zwłaszcza, badania, dokonywane w Zurychu przez M. Ros'a i A. Eichinger'a, ogłoszone w 1926 r. oraz badania w Getyndze, dokonane w 1927 r. innemi metodami jak w Zurychu przez Dr. Lode, najwyraźniej popierają hipotezę właściwej energii odkształcenia postaciowego dla wytężenia metali kowalnych, a przede wszystkim dla żelaza zlewne go i stali.

Dla materiałów więc używanych do budowy kotłów z istniejących dotychczas hipotez wytężenia najbardziej zgodną z doświadczeniami jest hipoteza prof. M. T. Hubera.

Co się tyczy materiałów twardych i kruchych, takich jak żeliwo, kamień i stal sprężysta hartowana, to dla nich żadna z istniejących hipotez nie zgadza się w dostatecznej dla praktyki mierze z wynikami badań.

To też wytrzymałościowe obliczenia dla tych materiałów są tylko wtedy miarodajne, jeżeli się opierają na wynikach badań dokonywanych w zbliżonych warunkach napięć do tych, w jakich obliczany element konstrukcyjny ma spełniać swe zadanie.

Takie materiały, jak pasy skórzane, liny bawełniane lub z konopi i t. d. w których jednowymiarowość napięcia zasadniczego — ze względu na ich przeznaczenie — jest niejako przesądzona, najprościej jest obliczać według hipotezy największego naprężenia normalnego z uwzględnieniem

dotychczasowych okoliczności pracy, jak: przeginięcie lin i pasów, ciśnienie poprzeczne, wywierane głównie na zewnętrzne włókna od strony wklęsłej i t. d.

Podkreślimy, co jest zresztą widoczne, iż odnośnie elementów konstrukcyjnych, wyłącznie rozciąganych, dla których posiadamy rezultaty prób na rozciąganie, rezultaty obliczenia, według którejkolwiek z istniejących teorii wytężenia są jednakowe.

Jak widać z powyższego przeglądu poszczególnych teorii (hipotez) wytężenia, wystarczy odnaleźć naprężenia główne w badanym punkcie materiału, znajdującego się w jakimkolwiek stanie napięcia, aby, mając charakterystyki E , μ i k_p jednolitego izotropowego materiału, mieć wystarczające dane do obliczenia wytężenia materiału według którejkolwiek z wyżej omawianych teorii.

W najogólniejszym stanie napięcia materiału w badanym punkcie, charakteryzowanym naprężeniami σ_x , σ_y , σ_z , τ_{xy} , τ_{yz} , τ_{zx} wyznacza się kierunki i wielkości naprężeń głównych w ten sposób, iż rozpatruje się elementarny ostrosłup z wierzchołkiem w badanym punkcie, będącym jednocześnie początkiem dowolnie obranego prostokątnego układu osi współrzędnych. Wybrany ostrosłup posiada trzy wzajemne prostopadłe ściany zlewające się z płaszczyznami układu

współrzędnych. Podstawa płaska tego ostrosłupa elementarnego znajduje się w bardzo małej odległości od początku układu współrzędnych i jej normalna tworzy z osiami współrzędnych Ox , Oy , Oz , kąty a , b , c . Jeżeli przez A , B , C , oznaczymy kąty nachylenia ku osiom Ox , Oy , Oz całkowitego naprężenia p , panującego na podstawie ostrosłupa, to badając warunki równowagi takiego elementarnego ostrosłupa, dochodzi się do równań:

$$\left. \begin{aligned} p \cos A &= \sigma_x \cos a + \tau_{yx} \cos b + \tau_{zx} \cos c \\ p \cos B &= \tau_{xy} \cos a + \sigma_y \cos b + \tau_{zy} \cos c \\ p \cos C &= \tau_{xz} \cos a + \tau_{yz} \cos b + \sigma_z \cos c \end{aligned} \right\} (18)$$

Aby wyznaczyć naprężenia główne wyrażamy analitycznie, iż w przekroju, położenie którego względem układu współrzędnych jest określone zmiennymi kątami a , b , c , niema naprężenia stycznego czyli że wypadkowe naprężenie p jest wyłącznie naprężeniem normalnym s czyli $p = s$, a więc, zważywszy, iż wówczas $A = a$; $B = b$; $C = c$, dla tego wypadku trzy równania (18) przyjmują postać:

$$\left. \begin{aligned} s \cos a &= \sigma_x \cos a + \tau_{yz} \cos b + \tau_{zx} \cos c \\ s \cos b &= \tau_{xy} \cos a + \sigma_y \cos b + \tau_{zy} \cos c \\ s \cos c &= \tau_{xz} \cos a + \tau_{yz} \cos b + \sigma_z \cos c \end{aligned} \right\} (19)$$

albo

$$\left. \begin{aligned} (\sigma - \sigma_x) \cos a - \tau_{yx} \cos b - \tau_{zx} \cos c &= 0 \\ -\tau_{xy} \cos a + (\sigma - \sigma_y) \cos b - \tau_{zy} \cos c &= 0 \\ -\tau_{xz} \cos a + \tau_{yz} \cos b + (\sigma - \sigma_z) \cos c &= 0 \end{aligned} \right\} (19a)$$

Przy rozwiązaniu trzech równań (19a) można wyznaczyć warunek, iż aby równania były współmierne, powinien ich wyznacznik Δ być równy zeru.

$$\Delta = \begin{vmatrix} \sigma - \sigma_x & -\tau_{xy} & -\tau_{zx} \\ -\tau_{xy} & \sigma - \sigma_y & -\tau_{zy} \\ -\tau_{xz} & -\tau_{yz} & \sigma - \sigma_z \end{vmatrix} = 0$$

który w rozwinięciu daje równanie trzeciego stopnia

$$\begin{aligned} \sigma^3 - \sigma^2 (\sigma_x + \sigma_y + \sigma_z) + \sigma (\sigma_x \tau_{yz} + \sigma_y \tau_{zx} + \sigma_z \tau_{xy} - \tau_{xy}^2 - \tau_{zx}^2 - \tau_{yz}^2) + \sigma_x \tau_{yz}^2 + \sigma_y \tau_{zx}^2 + \sigma_z \tau_{xy}^2 - \sigma_x \sigma_y \sigma_z - 2\tau_{yz} \tau_{zx} \tau_{xy} &= 0 \end{aligned}$$

Rozwiązanie tego równania daje szukane trzy naprężenia główne σ_1 , σ_2 , σ_3 , których wielkości są pierwiastkami tego równania.

Położenie normalnych przekrojów, w których panują naprężenia główne czyli kierunki naprężeń głównych określamy znajdując kąty a , b , c , z równań

$$\cos a_1 = \frac{\sigma_x}{\sigma_1}; \cos b_1 = \frac{\sigma_y}{\sigma_1}; \cos c_1 = \frac{\sigma_z}{\sigma_1}$$

$$\cos a_2 = \frac{\sigma_x}{\sigma_2}; \cos b_2 = \frac{\sigma_y}{\sigma_2}; \cos c_2 = \frac{\sigma_z}{\sigma_2}$$

$$\cos a_3 = \frac{\sigma_x}{\sigma_3}; \cos b_3 = \frac{\sigma_y}{\sigma_3}; \cos c_3 = \frac{\sigma_z}{\sigma_3}$$

Kierunki charakteryzowane przez a_1 , b_1 , c_1 ; a_2 , b_2 , c_2 ; a_3 , b_3 , c_3 naprężeń głównych σ_1 , σ_2 , σ_3 tworzą z sobą wzajemnie kąty proste. Ponieważ współczynnik każdego równania trzeciego stopnia przy zmiennej w drugiej potędze równy jest sumie pierwiastków z odwrotnym znakiem, więc $\sigma_x + \sigma_y + \sigma_z = \sigma_1 + \sigma_2 + \sigma_3$. A więc suma naprężeń normalnych panujących w trzech jakichkolwiek wzajemnie prostopadłych przekrojach jest wielkością stałą.

W taki sposób przedstawiono szkic odnajdywania wielkości i kierunków naprężeń głównych w jakimkolwiek punkcie materiału o najogólniejszym stanie napięcia. W technicznym zastosowaniu jednak nie mamy przeważnie do czynienia z takim ogólnym przypadkiem. Zagadnienia techniczne nawet bardzo ogólne dają się zazwyczaj rozważać jako zagadnienia dwuwymiarowe (płaskiego) stanu napięcia. W przeważnej ilości zagadnień technicznych na miejsce zasady superpozycji (możność składania jednakowego typu skutków działania sił). Aby zasada superpozycji zachodziła, konieczna jest proporcjonalna zależność pomiędzy wielkością sił i wielkością skutku ich działania. Niemal jedynymi przykładami, praktycznego znaczenia, w których nie zachodzi zasada superpozycji są: 1) zagadnienia jednoczesnego zginania i rozciągania (lub ściskania) oraz 2) zagadnienie ściskania kul i walców.

Weźmy przykład który w praktyce jest już dość złożonym przypadkiem napięcia oddzielnych punktów materiału, a mianowicie przypadek wału, graniastosłupa (lub nawet ostrosłupa) podanego 1) zginaniu kilkoma parami sił o momentach M_1 , M_2 , M_3 , i t. d. działającymi w różnych płaszczyznach przechodzących przez oś pręta 2) skręcaniu parą sił o momentach M^1 , M^2 , M^3 , i t. d. działających w różnych kierunkach w różnych płaszczyznach prostopadłych do osi pręta, oraz 3) działaniu sił ścinających T_1 , T_2 , T_3 , i t. d. działających w różnych kierunkach i przechodzących przez oś graniastosłupa. W podobnych wypadkach wybiera się kilka przekrojów, a na nich jeden lub więcej punktów A , co do których przypuszczamy, iż w nich mogą mieć miejsce największe wyteżenia i wyteżenie największe przyjmujemy za miarodajne.

Rozpatrzmy jeden taki punkt A i przeprowadźmy w płaszczyźnie zamierający ten punkt, prostopadłej do osi pręta O dwie osie współrzędnych O_x i O_y przecinające oś i oznaczmy współrzędne punktu A przez a i b .

1) Momenty wszystkich sił zewnętrznych względem osi O_x i O_y jednego końca graniastosłupa będącego w równowadze niech będą M_x

i M_y , a wynikające z działania tych momentów naprężenie normalne w punkcie A będzie

$$\sigma = \frac{M_x y}{J_x} \pm \frac{M_y x}{J_y}$$

Poszczególne momenty skręcające dają w badanym przekroju łącznie moment M_S , wywołujący w punkcie A naprężenie ścinające τ .

Siły ścinające redukują się w rozpatrywanym przekroju do siły T_x , T_y , dających naprężenie τ_x i τ_y . Ogólnie rzecz biorąc kierunek naprężenia τ może nie być zgodny z kierunkiem naprężeń τ_x i τ_y .

Te naprężenia dodane geometrycznie dają

$$\tau \equiv \tau_z \pm \tau_x \pm \tau_y$$

W takim więc, nawet dość ogólnym, wypadku naprężenia panujące w badanym punkcie dają się sprowadzić do normalnego naprężenia σ i ścinającego τ .

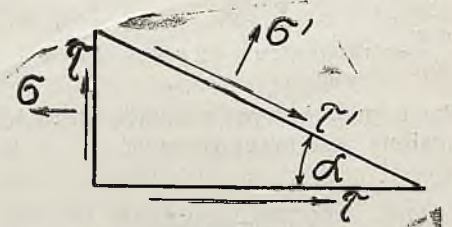
Zauważmy iż w większości wypadków w praktyce zginaniu towarzyszy ścinanie. Tak zwane czyste zginanie siłami zewnętrznymi (bez ścinania w przekrojach poprzednich) mamy na przykład w belce pomiędzy podporami symetrycznie wystającej z obydwu końców symetrycznie obciążonej.

W wypadku jeszcze bardziej złożonym, gdy prócz momentów zginających na graniastosłup działają siły rozciągające lub ściskające, wywołujące dodatkowe naprężenia normalne, należy rozróżnić dwa wypadki, a mianowicie—pierwszy, kiedy rozmiary poprzeczne pręta są dość duże w porównaniu z jego długością, wówczas siły podłużne wywołują przede wszystkim rozciąganie lub ściskanie i powodują znikomy wpływ na zmianę zginania wywołanego działaniem momentów gnących. Wówczas w przybliżeniu można stosować zasadę superpozycji, dodając (z uwzględnieniem znaku) naprężenie normalne, wywołane w punkcie A działaniem tych sił do naprężenia normalnego od momentów gnących i znów mamy do czynienia w punkcie A tylko z naprężeniem normalnym σ i naprężeniem stycznym τ . W drugim wypadku—cienkich i długich prętów może się w dużej mierze zaznaczać wpływ sił podłużnych na zgięcie; wtedy nawet w przybliżeniu zasada superpozycji nie może być zastosowana, wówczas łączne naprężenie σ , pochodzące od momentu zginającego i siły podłużnej obliczyć należy w inny sposób. Sposób ten podano w rozdziale XV pracy „Kurs Wytrzymałości Materiałów” Timoszenko-Huber.

W każdym razie w tych dość dla praktyki złożonych przypadkach napięcia w badanym punkcie A dadzą się sprowadzić do naprężeń σ i τ .

W takich wypadkach, nie uciekając się do ogólnej dość zawiłej metody w celu znalezienia kierunków i wielkości naprężeń głównych, postępujemy w taki sposób, iż w badanym punkcie

wydzielamy pryzmatyczny trójgraniasty element (Rys. 3) o długości krawędzi (odległości podstaw) równej jedności, w którym dwie ściany boczne są do siebie prostopadłe. Zwykle przedstawiamy ów element na rysunku w ten sposób, iż krawędzie są prostopadłe do rysunku, a prostopadłe ściany umieszczone jednak pionowo druga poziomo odpowiadają przekrojom, w których znane nam są naprężenia σ i τ . W przecie ściana pionowa odpowiadać może przekrojowi poprzecznemu, a ściana pozioma — przekrojowi równoległemu do osi.



Rys. 3.

A więc niech na ścianę pionową elementu działa naprężenie normalne σ , pochodzące od zginania lub rozciągania lub łącznego działania rozciągania i zginania i naprężenie styczne τ , pochodzące od skręcenia i działania zwykłych sił ścinających i niech na ścianę poziomą działa tylko naprężenie styczne, które jak wiadomo równe jest naprężeniu τ , działającemu na ścianie pionowej.

Nieznane naprężenie panujące na ścianie ukośnej będącej pod kątem α do ściany poziomej oznaczamy przez σ' i τ' .

Jeżeli przez F oznaczmy pow. ściany ukośnej, to powierzchnia ściany pionowej będzie $F \sin \alpha$, a poziomej $F \cos \alpha$. Odpowiednie napięcia, panujące na tych ścianach, równają się $\sigma' \cdot F$; $\tau' \cdot F$; $\sigma \cdot F \sin \alpha$; $\tau F \sin \alpha$; $\tau F \cos \alpha$.

Mamy tu do czynienia z płaskim układem sił; możemy napisać 3 równania jako warunki równowagi, a mianowicie dwa warunki rzutów i jeden warunek momentów.

Dla znalezienia dwu niewiadomych σ' i τ' wystarczą dwa równania, wobec czego uwzględniamy tylko warunki rzutów. Jako kierunki osi rzutów obieramy dla uproszczenia kierunki niewiadomych wielkości σ' i τ' wobec czego otrzymujemy

$$\sigma' F + \tau F \cos \alpha \sin \alpha + \tau F \sin \alpha \cos \alpha - \sigma F \sin^2 \alpha = 0$$

$$\tau' F + \tau F \cos^2 \alpha - \tau F \sin^2 \alpha - \sigma F \sin \alpha \cos \alpha = 0$$

z równań tych otrzymujemy

$$\sigma' = \frac{\sigma}{2} (1 - \cos 2\alpha) - \tau \sin 2\alpha \quad (20)$$

$$\tau' = \sigma \frac{\sin 2\alpha}{2} - \tau \cos 2\alpha$$

Wzory 20 dają naprężenia σ' i τ' w funkcji od kąta α ; wartości największe σ_{max} i τ_{max} oraz najmniejsze σ_{min} i τ_{min} znajdziemy przyrównując pierwsze pochodne do zera

$$\frac{d\sigma'}{d\alpha} = 0; \quad \frac{d\tau'}{d\alpha} = 0$$

W danym wypadku interesują nas tylko skrajne wartości naprężenia normalnego σ_{min} i σ_{max} oraz kąt α , charakteryzujący położenie odpowiedniego przekroju

$$\frac{d\sigma'}{d\alpha} = \sigma \sin 2\alpha - 2\tau \cos 2\alpha = 0$$

skąd kąt α przy którym σ osiąga wartości skrajne określony jest przez równość

$$tg 2\alpha = \frac{2\tau}{\sigma} \quad \dots \quad (21)$$

Widzimy, iż w obrębie 360° równaniu temu odpowiadają 2 wartości α i $\alpha + \frac{\pi}{2}$ jednej z nich odpowiada σ_{max} drugiej σ_{min} .

Posiłkując się równaniem 21 otrzymujemy

$$\begin{aligned} \sin 2\alpha &= \pm \frac{tg 2\alpha}{\sqrt{1 + tg^2 2\alpha}} = \pm \frac{2\tau}{\sqrt{\sigma^2 + 4\tau^2}} \\ \cos 2\alpha &= \pm \frac{1}{\sqrt{1 + tg^2 2\alpha}} = \pm \frac{\sigma}{\sqrt{\sigma^2 + 4\tau^2}} \end{aligned} \quad (22)$$

wstawiając do pierwszego z równań (20) wartości dla $\sin 2\alpha$ i $\cos 2\alpha$ z równań (22) raz brane ze znakami — drugi raz ze znakami + otrzymujemy

$$\begin{aligned} \sigma_1 = \sigma_{max} &= \frac{\sigma}{2} + \frac{1}{2} \sqrt{\sigma^2 + 4\tau^2} \\ \sigma_2 = \sigma_{min} &= \frac{\sigma}{2} - \frac{1}{2} \sqrt{\sigma^2 + 4\tau^2} \end{aligned} \quad (23)$$

Kierunek τ_{max} dzieli kąt pomiędzy σ_{max} i σ_{min} do połowy a wielkość τ_{max} równa się $\frac{\sigma_{max} - \sigma_{min}}{2}$

$$\tau_{max} = \frac{1}{2} \sqrt{\sigma^2 + 4\tau^2} \quad \dots \quad (24)$$

Według hipotezy największego wydłużenia, miarodajne jest w obliczeniu wytrzymałościowym naprężenie sprowadzone (zredukowane) $\sigma_r = \sigma_{max} - \mu \sigma_{min}$, to jest wielkość

$$\sigma_r = (1 - \mu) \frac{\sigma}{2} + (1 + \mu) \frac{\sqrt{\sigma^2 + 4\tau^2}}{2} \quad (25)$$

przyjmując $\mu = \frac{1}{3}$ lub $\mu = 0,3$ otrzymujemy

$$\sigma_r = \frac{1}{3} \sigma + \frac{2}{3} \sqrt{\sigma^2 + 4\tau^2} \quad \dots \quad (25a)$$

$$\sigma_r = 0,35 \sigma + 0,65 \sqrt{\sigma^2 + 4\tau^2}$$

W przypadku okrągłego wału, zginanego momentem M_1 i skręcanego momentem M_2 najniebezpieczniejszy punkt leży na powierzchni wału tak, że względu na zginanie jakoteż i ze względu na skręcanie.

Dla tego punktu

$$\begin{aligned} \sigma &= \frac{M_1 r}{J} = \frac{4M_1}{\pi r^3} = \frac{M_1}{W} \\ \tau &= \frac{M_2 r}{J_p} = \frac{2M_2}{\pi r^3} = \frac{M_2}{2W} \end{aligned} \quad \dots \quad (27)$$

gdzie J i J_p są momentami bezwładności przekroju kołowego: względem przechodzącej przez środek i względem środka przekroju, a w tem W jest modułem przekroju poprzecznego (momentem wytrzymałości) i dla przekroju kołowego równa się

$$W = \frac{\pi d^3}{32} = \frac{\pi r^3}{4}$$

Wstawiając do równań (23) wartości dla σ i τ z równań (26) wyrazimy wielkość naprężeń głównych, zapomoć momentów zginającego i skręcającego w najniebezpieczniejszych (zewnętrznych) punktach wału narażonego jednocześnie na zginanie i skręcanie

$$\begin{aligned} \sigma_1 &= \frac{M_1}{2W} + \frac{1}{2W} \sqrt{M_1^2 + M_2^2} = \\ &= \frac{1}{2} (M_1 + \sqrt{M_1^2 + M_2^2}) \\ \sigma_2 &= \frac{M_1}{2W} - \frac{1}{2W} \sqrt{M_1^2 + M_2^2} = \\ &= \frac{1}{2} (M_1 - \sqrt{M_1^2 + M_2^2}) \end{aligned} \quad \dots \quad (27)$$

Jak widzimy z wzorów (27), naprężenia główne wywołane jednoczesnym zginaniem i skręcaniem okrągłych wałów są takie same, jakieby powstały przy czystym zginaniu (przy działaniu pary sił) fikcyjnym momentem pary sił.

$$M = \frac{1}{2} (M_1 \pm \sqrt{M_1^2 + M_2^2})$$

Formując naprężenie sprowadzone (zredukowane)

$$\sigma = \sigma_1 - \mu \sigma_2$$

i posilując się wzorami (26) mamy dla $\mu = \frac{1}{3}$ lub $\mu = 0,3$;

$$\sigma_r = \frac{1}{W} \left(\frac{1}{3} M_1 + \frac{2}{2} \sqrt{M_1^2 + M_2^2} \right) \quad \dots \quad (28)$$

$$\sigma_r = \frac{1}{W} (0,35 M_1 + 0,65 \sqrt{M_1^2 + M_2^2})$$

(d. c. n.)

OBLICZANIE SPÓŁCZYNNIKA WYTRZYMAŁOŚCI WZGLĘDNEJ „Z” WALCZAKÓW KOTŁÓW PAROWYCH.

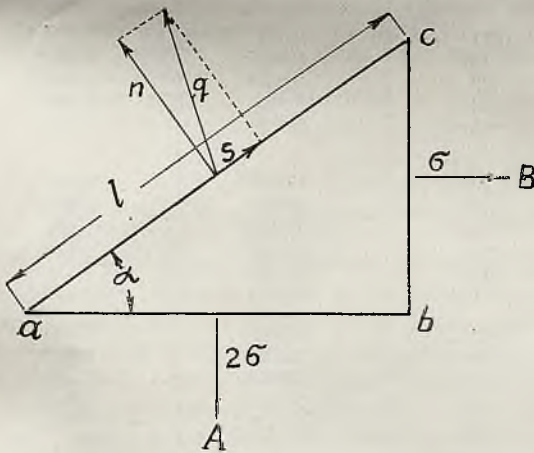
Przy obliczaniu grubości ścianek walczków kotłów parowych, narażonych na ciśnienie wewnętrzne, podług znanego wzoru:

$$g = \frac{p \cdot D \cdot x}{200 R z} + c \dots \dots (1)$$

w którym oznacza:

- g — grubość blachy w mm;
- p — największe ciśnienie względne (robocze) atn;
- D — największą wewnętrzną średnicę walczaka w mm;
- x — stopień bezpieczeństwa;
- R — obliczeniową wytrzymałość materiału na rozerwanie w kg/mm^2 ;
- z — współczynnik osłabienia materiału,
- c — stała,

uwzględniamy osłabienie materiału wskutek wywierconych otworów na nity i rury przez współczynnik „z”, przyjmując w obliczeniu jego wartość najmniejszą, czyli największe osłabienie materiału. Punktem wyjścia dla wzoru powyższego są naprężenia obwodowe w walczaku, które są — jak wiadomo — dwa razy większe od osiowych. Jeśli naprężenia obwodowe wynoszą 2σ , a osiowe σ , to w przekrojach, nachylonych



Rys. 1.

do osi kotła pod kątem α wielkość naprężenia leżeć będzie w granicach od σ do 2σ , zależnie od wartości kąta α . W celu określenia tego naprężenia wycinamy z walczaka kotła kawałek blachy o kształcie trójkąta prostokątnego (rys. 1) o grubości ścianki g . W kierunku A działa naprężenie obwodowe 2σ , a kierunku B naprężenie osiowe σ . W przekroju ac , nachylonym do osi walczaka pod kątem α , działa naprężenie q , które rozkładamy na styczne s i prostopadłe do przekroju ac naprężenie normalne n . Siły działające prostopadłe do poszczególnych boków trójkąta abc wynoszą:

- prostopadle do boku ac : n . l. g .
- „ „ „ ab : $2\sigma \cdot g \cdot l \cos \alpha$
- „ „ „ bc : $\sigma \cdot g \cdot l \sin \alpha$.

Z warunku rzutów wszystkich działających sił na kierunek siły n . l. g . otrzymujemy następujące równanie:

$$n \cdot l \cdot g = 2\sigma \cdot g \cdot l \cos \alpha \cdot \cos \alpha + \sigma \cdot g \cdot l \sin \alpha \sin \alpha = 2\sigma \cdot g \cdot l \cos^2 \alpha + \sigma \cdot g \cdot l \sin^2 \alpha.$$

Po uproszczeniu otrzymujemy:

$$n = 2\sigma \cos^2 \alpha + \sigma \sin^2 \alpha$$

lub też

$$n = \sigma (\cos^2 \alpha + 1) \dots \dots (2).$$

Jest to wzór na obliczenie naprężeń rozciągających w przekrojach nachylonych do osi walczaka pod kątem α . Zgodnie z tem co wyżej powiedziano dla $\alpha = 0$ (naprężenie obwodowe) otrzymujemy jako wynik 2σ , dla $\alpha = 90^\circ$ (naprężenie osiowe) wynik σ .

Wielkość naprężeń w materiale walczaka jest miarodajna do obliczenia grubości ścianek. Wzór (1), odnoszący się do naprężeń obwodowych, trzeba by odpowiednio zmieniać, jeśli byśmy chcieli obliczać grubość blachy walczaka w innych przekrojach. Zwykle jednak samą postać wzoru pozostawiamy bez zmiany, zaś tę wspomnianą zmianę naprężeń uwzględniamy w współczynniku „z”, uwzględniając osłabienie materiału wskutek otworów na rury i nity. Dla podłużnego szwu nitowanego na zakładkę i dla otworów, biegnących w kierunku osi walczaka, wartość współczynnika „z” określa wzór:

$$z = \frac{t-d}{t} \dots \dots (3)$$

w którym oznacza (rys. 2):

- t — podziałkę otworów w mm,
- d — średnicę otworów w mm;

a dla szwu poprzecznego i otworów biegnących prostopadle do osi walczaka współczynnik „z”, uwzględniając o połowę mniejsze naprężenie osiowe, będzie wynosił:

$$z = 2 \frac{t-d}{t} \dots \dots (4)$$

Ponieważ naprężenia obwodowe mają się do naprężeń w przekrojach skośnych, jak:

$$\frac{2\sigma}{\sigma (\cos^2 \alpha + 1)} = \frac{2}{\cos^2 \alpha + 1}$$

więc też wartość współczynnika „z” dla przekrojów skośnych do osi walczaka wyrazi się wzorem

$$z = \frac{t-d}{t} \cdot \frac{2}{\cos^2 \alpha + 1} \dots \dots (5)$$

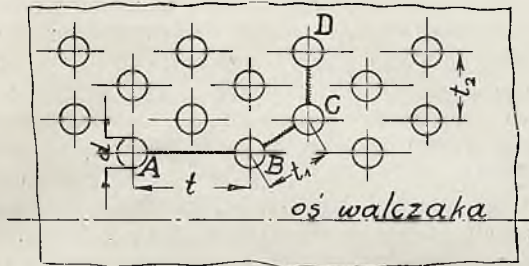
z którego dla $\alpha = 0$ otrzymujemy wzór (3), dla $\alpha = 90^\circ$ wzór (4).

W celu uproszczenia rachunku w obliczaniu współczynnika „z” dla skośnych przekrojów walczaka, zestawiono w poniższej tabeli wartości wyrażenia $\frac{2}{\cos^2 \alpha + 1}$ z wzoru (5) dla $\alpha = 0^\circ$ do

90° , przy czym ze względów praktycznych podano w pierwszym rzędzie sinusy kątów, które łatwiej otrzymać drogą pomiaru, aniżeli same kąty, zaś w następnym rzędzie wielkości odnośnych kątów w stopniach.

Sinus kąta nachylenia α	Wartość kąta nachylenia α w stopn.	Wartość wyrażenia $\frac{2}{\cos^2 \alpha + 1}$	Sinus kąta nachylenia α	Wartość kąta nachylenia α w stopn.	Wartość wyrażenia $\frac{2}{\cos^2 \alpha + 1}$
0,01	0°34'	1,000	0,51	30°40'	1,149
02	1°09'	1,000	52	31°20'	1,156
03	1°48'	1,000	53	32°00'	1,163
04	2°18'	1,001	54	32°41'	1,171
05	2°52'	1,001	55	33°22'	1,178
0,06	3°26'	1,002	0,56	34°03'	1,185
07	4°01'	1,002	57	34°45'	1,194
08	4°35'	1,003	58	35°27'	1,202
09	5°13'	1,004	59	36°09'	1,211
10	5°44'	1,005	60	36°52'	1,220
0,11	6°19'	1,006	0,61	37°35'	1,229
12	6°54'	1,007	62	38°19'	1,238
13	7°28'	1,009	63	39°03'	1,248
14	8°03'	1,010	64	39°48'	1,258
15	8°38'	1,011	65	40°32'	1,268
0,16	9°12'	1,013	0,66	41°18'	1,278
17	9°47'	1,015	67	42°04'	1,289
18	10°22'	1,016	68	42°51'	1,301
19	10°57'	1,018	69	43°38'	1,312
20	11°32'	1,020	70	44°26'	1,325
0,21	12°07'	1,023	0,71	45°14'	1,337
22	12°43'	1,025	72	46°03'	1,350
23	13°18'	1,027	73	46°53'	1,363
24	13°53'	1,030	74	47°44'	1,377
25	14°29'	1,032	75	48°35'	1,391
0,26	15°04'	1,035	0,76	49°28'	1,406
27	15°40'	1,038	77	50°21'	1,421
28	16°16'	1,041	78	51°16'	1,437
29	16°51'	1,044	79	52°11'	1,454
30	17°27'	1,047	80	53°08'	1,471
0,31	18°04'	1,050	0,81	54°06'	1,488
32	18°40'	1,054	82	55°05'	1,506
33	19°16'	1,058	83	56°06'	1,525
34	19°53'	1,061	84	57°08'	1,545
35	20°29'	1,065	85	58°13'	1,566
0,36	21°06'	1,069	0,86	59°19'	1,587
37	21°43'	1,073	87	60°28'	1,609
38	22°20'	1,078	88	61°39'	1,632
39	22°57'	1,082	89	62°52'	1,656
40	23°35'	1,087	90	64°09'	1,681
0,41	24°12'	1,092	0,91	65°30'	1,707
42	24°50'	1,097	92	66°56'	1,734
43	25°28'	1,102	93	68°26'	1,762
44	26°06'	1,107	94	70°03'	1,792
45	26°45'	1,113	95	71°48'	1,822
0,46	27°23'	1,118	0,96	73°44'	1,855
47	28°02'	1,124	97	75°56'	1,888
48	28°41'	1,130	98	78°31'	1,924
49	29°20'	1,136	99	81°54'	1,961
50	30°00'	1,143	1,00	90°00'	2,000

Rys. 2 przedstawia układ otworów dla rur w walczkach kotłów parowych. W celu znalezienia najmniejszego współczynnika „z” należy obliczyć ten współczynnik dla poszczególnych przekrojów A—B, B—C i C—D.



rys. 2.

Przyjmując: $t=350$ mm, $t_1=200$ mm, $t_2=200$ mm, $d=84$ mm mamy:

w przekroju: A—B:

$$z = \frac{t-d}{t} = \frac{350-84}{350} = \frac{266}{350}$$

$$z = 0,76.$$

w przekroju B—C:

$$z_1 = \frac{t_1-d}{t_1} \cdot \frac{2}{\cos^2 \alpha + 1}$$

Dla podanych wymiarów na rys. 2.

$$\sin \alpha = \frac{100}{200} = 0,5 \text{ czyli } \alpha = 30^\circ.$$

Z tabeli odczytujemy, że dla $\sin \alpha = 0,5$

wyrażenie $\frac{2}{\cos^2 \alpha + 1}$ ma wartość 1,143

$$\text{czyli } z_1 = \frac{200}{200} \cdot 1,143 = 0,58 \cdot 1,143$$

$$z_1 = 0,663$$

wreszcie w przekroju C—D:

$$z_2 = \frac{t_2-d}{t_2} \cdot \frac{2}{\cos^2 \alpha + 1} \text{ dla } \alpha = 90^\circ$$

$$z_2 = 2 \cdot \frac{t_2-d}{t_2} = 2 \cdot \frac{200-84}{200}$$

$$z_2 = 1,16$$

Z tego przykładu widzimy, że w omawianym wypadku wartość współczynnika „z” jest najmniejsza w przekroju skośnym B—C i dla obliczenia grubości ścianek walczaka podług wzoru (1) ona będzie miarodajna. Podana tabela w znacznej mierze ułatwia obliczanie współczynnika „z” w przekrojach nachylonych do osi walczaka.

R. M.

NOWE WYDAWNICTWA.

Inż. Stanisław Felsz. „Gospodarka cieplna na parowozie i w kotłowni”. Warszawa. 1929. Zw. Zaw. Maszynistów Kolejowych.

Bohdan Gimbut. Techniczna ocena i badania maszyn elektrycznych zapomocą prób i pomiarów. Katowice 1929.

Dr. Stefan Namysłowski „Oleje izolacyjne dla celów elektrotechnicznych”. Toruń 1929. Pomorska Elektrownia Krajowa „Gródek” S. A.

„Memorjały firmy W. A. Harriman & Co., Inc.”

w sprawie zarzutów przeciwko projektowi uprawnienia elektryfikacyjnego tejże firmy. Warszawa. 1929.

„Nowoczesne kierunki w budowie elektrowni”. Cykl odczytów. Warszawa. 1929.

Warunki techniczne odbioru silników spalinowych. Warszawa 1929. Księgarnia Techniczna.

„Zagadnienie paliwa spirytusowego w Polsce”. Praca zbiorowa. Warszawa. 1929. Rada Naczelna Przemysłu Gorzełnictwa Rolniczych w Polsce.

KRONIKA TECHNICZNA.

EKSPLOZJE KOTŁÓW W NIEMCZECH W R. 1928. *)

Na terenie Rzeszy Niemieckiej wydarzyły się w roku 1928 cztery eksplozje kotłów. W dwóch wypadkach powodem eksplozji był brak wody w kotle, w pozostałych dwóch — zużycie kotła. Wskutek eksplozji poniosło śmierć osiem osób, a sześć zostało lekko rannych. Bliższe dane o uszkodzonych kotłach są następujące:

1. — Leżący kocioł dwupłomienicowy, zbudowany w r. 1905, na ciśnienie robocze 10 atn, o powierzchni ogrzewanej 95 m² i powierzchni rusztu 5,61 m², pracował w kopalni węgla kamiennego Gersdorf, gwarectwa Gottessegen w Lugau. Przy wybuchu została rozerwana na pierwszym dzwonie płomienica z blachy falistej do połowy swego obwodu o długości 800 mm wzdłuż i w szerz. Na miejscach rozerwanej płomienicy widać było lekkie wyzarcie. Obmurowanie kotła zostało całkowicie zniszczone. Wybuch spowodował brak wody w kotle. —

2. — Kocioł dwupłomienicowy, zbudowany w r. 1905, o powierzchni ogrzewanej 60 m², powierzchni rusztu 1,89 m² na ciśnienie robocze 8,5 atn eksplodował z powodu wyzarcie płomienicy, powstałych wskutek wysokiej zawartości

chlorku w wodzie zasilającej. W kotle tym, pracującym w f-ce wapna H. Gräper'a w dobrach Neu-Lethe w Oldenburgu, została oderwana lewa płomienica na pierwszym dzwonie poza szwem poprzecznym ściany czołowej. Obmurowanie kotła i budynek zostały zniszczone.

3. — Brak wody w kotle spowodował eksplozję kotła dwupłomienicowego, zbudowanego w r. 1905 na ciśnienie robocze 10 atn, o powierzchni ogrzewanej 82 m² i powierzchni rusztu 3,4 m² opalanego węglem brunatnym. Przy eksplozji w f-ce gipsu G. George w Alt-Morschen został rozerwany szew, łączący prawą płomienicę ze ścianą czołową. Obmurowanie zostało zniszczone. —

4. — Leżący kocioł dwupłomienicowy, zbudowany w r. 1895, o powierzchni ogrzewanej 85 m², powierzchni rusztu 4,68 m², na ciśnienie robocze 8 atn, służył do wytwarzania pary dla silnika i do ogrzewania i gotowania. W czasie eksplozji w browarze National-Jürgens A. G. w Braunschweig zostało wklęsnięte pierwsze dzwono prawej płomienicy i w dwóch miejscach rozerwane. Obmurze paleniska zewnętrznego i tylna ściana zostały wyrzucone. Powodem eksplozji było silne wyzarcie materiału wskutek za dużej zawartości chlorku w wodzie zasilającej.

R. M.

*) Por. V. D. I. 1929 Nr. 41.

Prof. Dr. STEFAN LÖFFELER

(WSPOMNIENIE POŚMIERTNE)

Dnia 22 października b. r. po długich i ciężkich cierpieniach rozstał się z tym światem prof. Stephan Löffler wybitny specjalista w zakresie zastosowań pary wysokoprężnej. Zmarły urodził się w miejscowości Steinau na Śląsku i po ukończeniu studjów na Związkowej Politechnice w Zurychu doktoryzował się w r. 1901 na uniwersytecie w Zurychu. Do roku 1903 zajmował stanowisko asystenta przy katedrze prof. Kammerera w Wyższej Szkole Technicznej w Berlinie. Następnie do 1908 roku Zmarły pracował w zakładach Witkowskich w Czechosłowacji oraz w stoczni Ansaldo w Genui. W 1908 r. powraca prof. Löffler do Wyższej Szkoły Technicznej w Berlinie i zajmuje tutaj stanowisko współpracownika prof. Riedlera pracując w nowoutworzonym zakładzie badawczym dla pojazdów mechanicznych. Pomiędzy innymi skonstruował Zmarły próbną stację rolkową dla badania takich pojazdów. Od 1912 r. znajduje stanowisko docenta maszyn roboczych o ruchu obrotowym i dostaje nominację na profesora zwyczaj-

nego, poczem aż do 1922 r. prowadzi wykłady w zakresie silników spalinowych i wirujących maszyn roboczych.

Niezależnie od prac powyższych zajmował się Zmarły konstrukcją instalacji i części maszyn pracujących pod ciśnieniem do 100 *atn* i przy temperaturze od 400° do 500°C. Prace te prowadzi w porozumieniu z Dr. Bergiusem dla potrzeb instalacji przeznaczonej do upłynniania. Prace te składają Zmarłego do badań dotyczących usprawnienia instalacji parowych przy pomocy stosowania pary wysokiego ciśnienia i temperatury. Pierwsze w tym kierunku projekty zostały zrealizowane w 1924 r. w Wiedeńskiej Fabryce Parowozów. Kocioł parowy wysokoprężny syst. Löfflera ustawiony został również w Witkowicach. Zakłady te zamierzają postawić dalsze dwa kotły tego typu. W dn 29 stycznia br. na zaproszenie Warszawskiego Towarzystwa Politechnicznego wygłosił Zmarły w Politechnice Warszawskiej odczyt poświęcony zastosowaniom technicznym pary wysokoprężnej. Odczyt ten streszczony został w *Technice Ciepłej* na str. 30—32 bieżącego rocznika.

PRZEGLĄD WYTWÓRCZOŚCI.

Prof. Inż. ROMAN DAWIDOWSKI, Kraków.

CZYSZCZENIE WODY KOTŁOWEJ ZE SZCZEGÓLNYM UWZGLĘDNIENIEM KOTŁÓW WYSOKOPRĘŻNYCH.

Wiadomą jest rzeczą, że woda używana do zasilania kotłów nigdy nie jest tak czystą, ażeby można powiedzieć, że przysposobienie wody jest zbyt dobre i nie przynosi korzyści dla ekonomji względnie bezpieczeństwa kotła. Nawet tak prawie chemicznie czysta i destylowana równa woda, jak deszczówka, wchłania chciwiej, aniżeli każda inna woda, gazy, które według nowych badań dość znacznie nadżerają blachę kotłów, a więc nawet ta woda nie powinna być używana do kotłów bez poprzedniego oczyszczenia z gazów i zalkalizowania.

Przeważnie mamy do dyspozycji wodę naturalną, z której osady w kotle w postaci kamienia kotłowego są powszechnie znane. Nowsze badania wykazują jeszcze dobitniej szkodliwość tego rodzaju osadów, a mianowicie przeprowadzone przez prof. Eberle i inż. Holzhaera¹⁾ pomiary przewodnictwa ciepła wykazały, że współczynnik przewodnictwa ciepła wynosi:

dla kamienia kotłowego o składzie przeważnie wapniowym	0,2 — 2 <i>Kal/m²</i> , godz °C
dla kamienia o składzie przeważnie gipsowym	0,6 — 1,5 „ „
dla kamienia o składzie przeważnie krzemowym	0,2 — 0,07 „ „

zależnie od gęstości kamienia, a więc albo mamy kamień kotłowy lity i zwarty, który lepiej przewodzi, natomiast trudniej da się usunąć przy czyszczeniu kotła, lub też tworzą się kamienie kotłowe porowate, łatwiejsze do odbicia, te jednak są najbardziej szkodliwe z powodu swych izolacyjnych własności.

Jeżeli porównamy przewodnictwo cieplne żelaza, które wynosi 40 — 70 *kal/m²* godz. °C, czyli średnio 50 *kal/m²* godz. °C to otrzymamy, że kamień kotłowy grubości 1 *cm* stawia opór przewodzeniu ciepła jak żelazo grubości podanej w tabeli poniższej (Tab. I).

TABELA I.

Kamień kotłowy o składzie przeważnie krzemowym	1 <i>cm</i> grubości odpowiada grubości żelaza 250 — 714 <i>cm</i>
gipsowym	83 — 33 <i>cm</i>
wapniowym	25 — 250 <i>cm</i>

Z tego wynika, że kocioł zanieczyszczony kamieniem 10 *mm* grubości o składzie przeważnie krzemionkowym działa tak, jak gdyby miał ściany z 7 metrowego żelaza. Praktycznie dane potwierdzają powyższe wyniki i np. inż. Pradel²⁾ stwierdził praktycznie pomiarami ma podrzewacu wody, że kamień o składzie przeważnie wapniowym 6 do 7 *mm* grubości spowodował 5,5% do 6% większe zużycie paliwa. Wobec tego czyszczenie wody praktycznie prawie zawsze opłaca się już choćby tylko ze względu na zużycie paliwa, ponieważ licząc okrągło i w przybliżeniu, że 1 *tn* węgla w cenie 20 — 30 zł. odparowuje około 6 *m³* wody, której czyszczenie kosztuje około 0,5 groszy na 1° twardości i 1 *m³*, czyli przy przeciętnej twardości wody 15° niem, koszty oczyszczania wody na 1 *tn* węgla wynoszą około 45 groszy, a zatem już przy zaoszczędzeniu 2% paliwa po cenie

$$(20 - 30) \cdot 0,02 = 0,40 \text{ do } 0,60 \text{ zł.}$$

koszty czyszczenia wody, przypadającej na 1 *tn* węgla, znajdują całkowite pokrycie.

¹⁾ Archiv f. Wärmewirtschaft u. Dampfkesselwesen 1928 str. 171.

²⁾ Feuerungstechnik 1913, str. 99.

Przytem nieuwzględnione są dalsze i to poważniejsze korzyści czyszczenia wody, jak:

- 1) Ubytek kosztów czyszczenia kotłów z kamienia
- 2) Uniknięcie skałeczenia kotłów przy zbijaniu kamienia kotłowego
- 3) Bezpieczeństwo ruchu.

Pozycja trzecia powinna być najpoważniejszym powodem starannego czyszczenia wody, gdyż doświadczenie uczy, że niejednokrotnie niezwykle słabe warstwy kamienia kotłowego bywały powodem lokalnego przegrzania blach kotłowych. Z przeprowadzonych pomiarów prof. Eberle'go i inż. Holzhauser'a wynika też, że co do lokalnego przegrzania blach kamień kotłowy wapienny i gipsowy jest nieco mniej niebezpieczny, natomiast kamień krzemowy może już nawet przy grubości 0,2 mm spowodować lokalne rozżarzenie, a zatem i przepalenie blachy.

Jeśli mianowicie pominiemy nieznaną opór przenikania ciepła z kamienia do wody, to przy temperaturze wody $t_w = 210 \text{ }^\circ\text{C}$ i przy kamieniu krzemionkowym o grubości $\delta = 0,2 \text{ mm}$ oraz współczynnika przewodzenia $\lambda = 0,1 \text{ Kal/m}^2 \text{ godz. } ^\circ\text{C}$, ściana wewnętrzna blachy kotłowej może z łatwością dojść do temperatury

$$t_z = Q \frac{\delta}{\lambda} + t_w = 810 \text{ }^\circ\text{C}$$

gdzie Q jest to ilość ciepła w kal., przenikająca w 1 godz. przez 1 m^2 powierzchni ogrzewalnej kotła, dochodząca do $300000 \text{ Kal/m}^2 \text{ /godz. } ^\circ\text{C}$.

Doniosłość czyszczenia wody natrafia też na coraz większe zrozumienie w sferach zawodowych i np. w Niemczech okólnik rozesłany przez Związek właścicieli większych kotłowni³⁾ wykazał, że wśród członków Związku na 2849 kotłowni zaledwie 235 nie czyściło wody, natomiast

- w 235 kotłowniach filtrowano wodę
- „ 1662 „ czyszczono systemem wapienno-sodowym
- „ 539 „ czyszczono nowym systemem Necker
- „ 235 „ czyszczono systemem permutytowym

Niemniej a może nawet i gorliwiej zajmują się sprawą czyszczenia wody sfery zawodowe i innych krajów i tak np. w Ameryce⁴⁾ połączyły się Związki American Society of Mechanical Engineers, National Electric Light Association, American Water Works Association, American Railway Engineering Association, American Boiler Manufacturers Association oraz American Society for Testing Materials w jeden wydział, posiadający 9 komisji, które mają opracować działy, jak filtrowanie wody, chemiczne czyszczenie wody, elektrolityczne czyszczenie wody, destylatory i odgazowywacze wody, korozje, przeparovanie wody z miejskich wodociągów, normowanie analiz wody kotłowej, przegląd literatury o czyszczeniu wody. Prace komisji obliczone są na lat pięć. Jak z jednej strony korzystać, a raczej nieodczuwalność czyszczenia wody kotłowej jest rzeczą powszechnie znaną, to jednak pewien stopień nieufności, z jakim tu i owdzie można się spotkać w odniesieniu do aparatów oczyszczających wodę, ma częściowo swoje uzasadnienie.

Przypisać to należy metodzie wyboru aparatów do czyszczenia wody, co do której pomija się jedynie racjonalną drogę zasięgnięcia opinii wytrawnych fachowców i zakupuje się zazwyczaj aparaty podług wzorów sąsiednich lub lepiej znanych kotłowni, przyczem nie uwzględnia się w zupełności lub też dostatecznie ściśle warunków własnej kotłowni.

Wśród kierowników kotłowni spotykamy często zawziętych zwolenników tego lub owego systemu oczyszczania wody i tego rodzaju opinia, oparta na jednostronnych przesłankach, nie uwzględnia szczególnych lokalnych wa-

runków wody, która niejednokrotnie w jednej i tej samej miejscowości ma zupełnie odmienny skład, a zatem zawsze musi być co do wyboru systemu czyszczenia wody indywidualnie traktowana.

Jak wspomniano, zazwyczaj mamy do dyspozycji wodę rzeczną, źródlaną lub zaskorną (studzienną) i wody te zawsze zawierają zanieczyszczenia w postaci rozpuszczalnych soli, gazów lub delikatnych zawiesin. Woda rzeczna jest naogół miększa, aniżeli woda źródłana, posiada jednak zazwyczaj więcej zanieczyszczeń zawieszonych. Główniejsze zanieczyszczenia, znajdujące się w każdej wodzie, możemy podzielić na następujące grupy:

TABELA 2

Rozpuszczone gazy	Cieężko rozpuszczalne składniki tworzywa kamienia	Lekko rozpuszczalne sole	Produkty lokalnych zanieczyszczeń
Dwutlenek węgla CO_2 Tlen O_2 Azot N_2	Węglan wapnia CaCO_3 Węglan magnezu MgCO_3 Gips CaSO_4 Krzemionka SiO_2 Tlenek glinu Al_2O_3 Węglan żelazawy FeCO_3	Sól kuchenna NaCl Chlorek wapnia CaCl_2 Chlorek magnezu MgCl_2 Siarczan magnezu MgSO_4	Amoniak NH_3 Kwas azotowy N_2O_3 Kwas azotowy N_2O_5 Organiczne substancje

Węgłany wapnia i magnezu znajdują się w wodzie właściwie jako dwuwęgłany $\text{CaH}_2(\text{CO}_3)_2$ oraz $\text{MgH}_2(\text{CO}_3)_2$, które przy temperaturze wrzenia wody rozpadają się na podane w tabeli ciężko rozpuszczalne węglany przy równoczesnym wydzielaniu kwasu węglowego CO_2 .

Stosownie do stopnia zanieczyszczenia nazywamy wodę twardą lub miękką i tu rozróżniamy trzy twardości:

1) Przemijającą lub czasową, spowodowaną zawartością dwuwęglanów wapnia lub magnezu. Twardość tą nazywają także alkaliczną albo węglanową.

2) Trwałą, zwaną także niewęglanową lub twardością kwasów mineralnych, względnie pozostałą lub też siarczanową twardością, spowodowaną głównie zawartością gipsu, a także częściowo i innych soli poza węglanami.

3) Całkowitą twardość albo ogólną, która równa się sumie obu poprzednich twardości.

Twardość oznaczamy stopniami twardości, a mianowicie: 1° niemiecki twardości odpowiada zawartości 10 miligramów CaO w 1 litrze wody, czyli 1 części CaO na 100.000 części wody. Stopni francuskich i angielskich podstawą nie jest tlenek wapnia, lecz węglan wapnia, czyli tabela przeliczeń stopni jest następująca:

TABELA 3

Stopnie	Oznaczenie	Odpowiada
1° niem. twardości	1 St.T.N.	10 mg CaO w 1 litrze wody
1° francuski „	1 St.T.F.	10 mg CaCO_3 „ „
1° angielski „	1 St.T.A.	10 mg CaCO_3 w 0,7 litr. wod.
1° niemiecki „	1 St.T.N.	1,25 angielskich St.T.
1° niemiecki „	1 St.T.N.	1,79 francuskich St.T.
0,8 St.T.N.	1 St.T.A.	1
0,8 St.T.N.	1,43 St.T.F.	1,43
0,56 St.T.N.	0,7 St.T.A.	0,7
0,56 St.T.N.	1 St.T.F.	1

³⁾ Czasopismo V. D. I. 1925 str. 1279.

⁴⁾ Mechanical Engineering, wrzesień 1927.

Twardość wody obejmuje nie tylko tlenek względnie węgiel wapnia lecz wszystkie inne składniki wody, które należy przeliczyć podług ciężaru drobinowego na równo-wartość tlenku wapnia i dodać do twardości wapniowej.

Jeśli mamy np. magnezję o ciężarze drobinowym 40, wówczas przeliczamy na tlenek wapnia o ciężarze 56 — według stosunku ciężarów drobinowych $\frac{40}{56} = 0,714$; t.j. 1^o T.N. magnezji odpowiada 0,714 miligramom *MgO* w litrze wody, czyli ilość znalezionych miligramów magnezji należy pomnożyć przez $\frac{56}{40} = 1,4$, ażeby otrzymać twardość w stopniach tlenku wapnia.

Następująca tabela zawiera przeliczenia ważniejszych związków, znajdujących się w wodzie, na twardość tlenku wapnia w St.T.N.

TABELA 4.

Nazwa	Znak chemiczny	Ciężar drobin. zaokr.	1 St.T.N. odpowiada gramom w 100 litrach
Wapno	<i>CaO</i>	56	1 <i>CaO</i>
Magnezja	<i>MgO</i>	40	0,714 <i>MgO</i>
Dwutlenek węgla	<i>CO₂</i>	44	0,786 <i>CO₂</i>
Węgiel wapnia	<i>CaCO₃</i>	100	1,79 <i>CaCO₃</i>
Kwas siarczany	<i>SO₃</i>	80	1,428 <i>SO₃</i>
Dwuwęgiel wapnia	<i>CaH₂(CO₃)₂</i>	162	2,89 <i>CaH₂(CO₃)₂</i>
Gips	<i>CaSO₄</i>	136	2,43 <i>CaSO₄</i>
Siarczan magnezu	<i>MgSO₄</i>	120	2,14 <i>MgSO₄</i>
Węgiel magnezu	<i>MgCO₃</i>	84	1,50 <i>MgCO₃</i>
wuwęgiel magnezu	<i>MgH₂(CO₃)₂</i>	146	2,61 <i>MgH₂(CO₃)₂</i>
Krzemionka	<i>SiO₂</i>	60	1,07 <i>SiO₂</i>

Według stopni twardości klasyfikujemy wodę, jak następuje:

poniżej 5 St. T. N.	bardzo miękka
od 5 do 10 „ „ „	miękka
„ 10 „ 20 „ „ „	średnio twarda
„ 20 „ 30 „ „ „	twarda
ponad 30 „ „ „	bardzo twarda

Zadaniem chemicznego czyszczenia wody jest przeprowadzenie części rozpuszczalnych, względnie przy podgrzaniu łatwo wydzielających się, w zupełnie lekko rozpuszczalne lub też w zupełnie nierozpuszczalne i wydzielenie tych ostatnich przed wprowadzeniem wody do kotła. Wyjątek stanowi krzemionka *SiO₂*, którą można przeprowadzić tylko w średnio rozpuszczalny związek krzemianu sodowego, czyli koncentracja tego związku musi być utrzymana stale w kotle na pewnym poziomie, gwarantującym rozpuszczalność. Stąd też pochodzi trudność w wydzieleniu z wody najniebezpieczniejszego tworzywa kamienia kotłowego, jakim jest bezspornie krzemionka i to zupełnie pewnie osiągnąć dotąd można jedynie z pomocą systemu Neckar, jak to w dalszym ciągu dowiedzione zostanie. Z innych składników np. pierwszego typu, t. j. przeprowadzonych z ciężko rozpuszczalnych w zupełnie lekko rozpuszczalne, można przytoczyć jako przykład gips, który jest właściwie w wodzie prawie nierozpuszczalny, albowiem według Marignac'a 100 części wody może zawierać zaledwie następującą ilość rozpuszczonego gipsu.

TABELA 5.

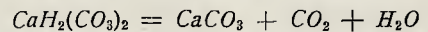
temperatura °C	ilość gipsu
0	0,241
18	0,259
24	0,265
32	0,269

38	0,272
41	0,269
53	0,266
72	0,255
86	0,239
90	0,222

A zatem już samo podgrzanie wody, a szczególnie odparowanie wody powoduje obniżenie stopnia rozpuszczalności gipsu, który wskutek tego musi się wydzielić jako kamień kotłowy.

Przez dodanie sody zamieniamy gips na zupełnie nierozpuszczalny węgiel wapnia i sól Glauberską $CaSO_4 + Na_2CO_3 = CaCO_3 + Na_2SO_4$, która jest całkowicie rozpuszczalna w wodzie i nie tworzy żadnych osadów. Do składników drugiego typu, t. j. łatwo rozkładających się w wodzie na składniki nierozpuszczalne i z tego względu przeprowadzonych przez czyszczenie w składniki nierozpuszczalne, należą np. dwuwęgiel wapnia i magnezu, które przez dodanie wapna zamieniają się na zupełnie nierozpuszczalne węglany wapnia i magnezu

$CaH_2(CO_3)_2 + Ca(OH)_2 = 2CaCO_3 + 2H_2O$
 $MgH_2(CO_3)_2 + Ca(OH)_2 = CaCO_3 + MgCO_3 + 2H_2O$
 zamiast zatem rozłożenia dwuwęglanu wapnia i magnezu w kotle



przy podgrzaniu wody, wskutek czego powstaje kamień kotłowy *CaCO₃* oraz szkodliwy dla blach kotłowych *CO₂*, czynimy to przed kotłem w aparacie do czyszczenia wody.

Ten dotychczasowy sposób przedstawiania tworzenia się kamienia kotłowego zapomocą wzorów chemicznych okazał się niedostatecznym dla wyjaśnienia szczegółów tworzenia się kamienia kotłowego, ponieważ według nowszych badań np. Stumper'a⁵⁾ okazuje się, że tworzenie się kamienia kotłowego jest niezmiernie skomplikowanym wynikiem wielu równoczesnych przebiegów fizyczno-chemicznych oraz elektro i termochemicznych które, oparte na nowoczesnym pojęciu dysocjacji, dają się zapomocą teorii jonów częściowo przedstawić.

Czysto chemiczne wzory nie wyjaśniają nam dlaczego np. wody stosunkowo miękkie wydzielają kamień kotłowy gipsowy silniej i kamień ten jest warty, podczas gdy w innym wypadku gips osadza się w kotle jako luźny namul. Te komplikacje w tworzeniu się kamienia kotłowego są też powodem, że dostosowanie aparatu, oczyszczającego wodę do jej składu, wymaga wielkiego doświadczenia, nie da się obliczyć zapomocą zwykłych wzorów chemicznych i, jak to doświadczenie uczy, da się prawie zawsze przeprowadzić, lecz tylko przez wypróbowanych specjalistów w tej dziedzinie.

Obecnie poważniejsze firmy przyjmują pełną gwarancję za nietworzenie się kamienia kotłowego i ten sposób najpewniej chroni od nabycia nieodpowiednich urządzeń do czyszczenia wody, a w każdym razie pewnie prowadzi do celu, aniżeli, jak to zazwyczaj ma miejsce, przetrwanie teorii czyszczenia wody dla zakupu jednego aparatu. W dalszym ciągu przedstawione zostaną przykłady aparatów do czyszczenia wody i to trzy najgłówniejsze typy, jak o tem świadczy powyżej podana statystyka aparatów, podana przez Związek właścicieli większych kotłowni w Niemczech.

SYSTEM WAPIENNO-SODOWY.

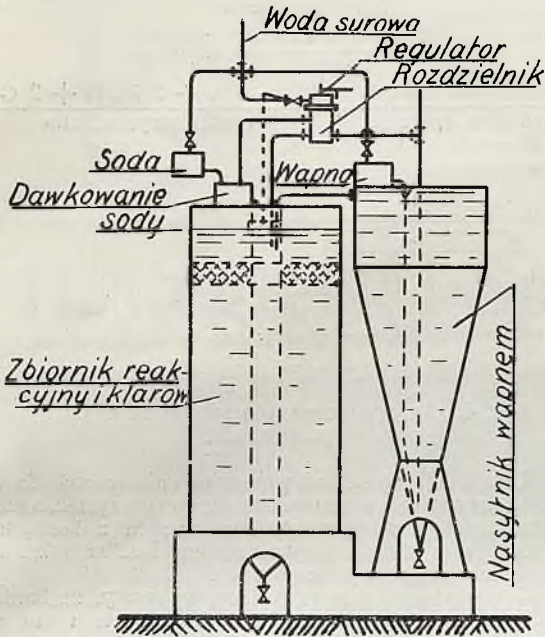
Do roku 1907 znany był jedynie system wapienno-sodowy, który polegał na użyciu wapna i sody jako odczynników odczyszczających.

Według rys. 1 woda surowa przechodzi w pierwszej części przez rozdzielnik do środkowej rury zbiornika reakcyjnego, a tylko część tej wody surowej odgałęzia się z rozdzielnika do nasytownika, skąd po nasyceniu wapnem przechodzi jako odczynnik wapienny również do zbiornika reakcyjnego. W zbiorniku reakcyjnym woda surowa w po-

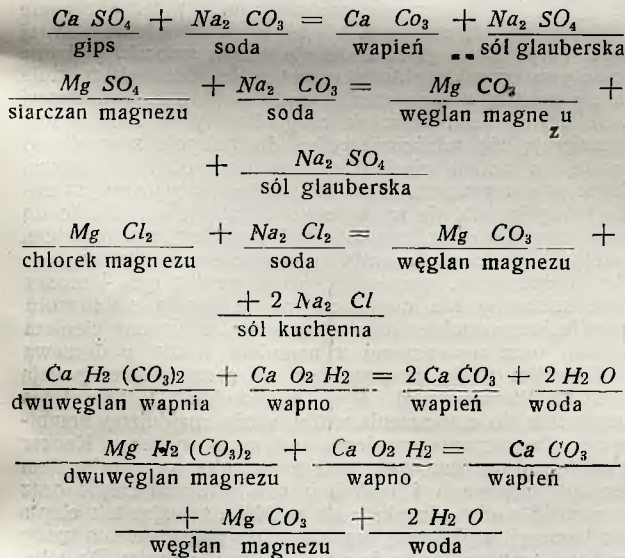
⁵⁾ Archiv f. Wärmewirtschaft 1927 str. 271.

łączeniu z sodą i mlekiem wapiennym spływa rurą środkową w dół, a następnie na boki zbiornika i po przejściu przez wkreskowany na rys. 1 w zbiorniku reakcyjnym filtr, odprowadzoną zostaje do kotłów.

Reakcje jakie zachodzą w tym aparacie są następujące:



Rys. 1. System wapienno-sodowy.



Pomieważ tym systemem przy przybliżonym dawkowaniu chemikalii nie można było osiągnąć zupełnego usunięcia składników twardości, przeto częsty upust namułu (wymuchiwanie kotła) był nieodzowny. Ponadto w kotle gromadzą się znaczne ilości soli wprawdzie zupełnie rozpuszczonych i nieszkodliwych dla blach kotła, jednak sam proces parowania mógłby przy zbyt wysokim zagęszczeniu soli w kotle ucierpieć.

Wobec tego uważa się zagęszczenie 2° Beaumé (około 20 kg soli kuchennej na 1 m³ wody) jako górną granicę, czyli z kotła oprócz namułu trzeba upuszczać tyle wody, ażeby zagęszczenie soli ponad 2° Beaumé nie nastąpiło.

Przy wodzie o 40° T. N. przypada na 1 m³ wody 1 kg soli rozpuszczonych w kotle, czyli w kole o 50 m³ zawartości wody osiągnie się koncentrację 2° Beaumé po dwudziestokrot-

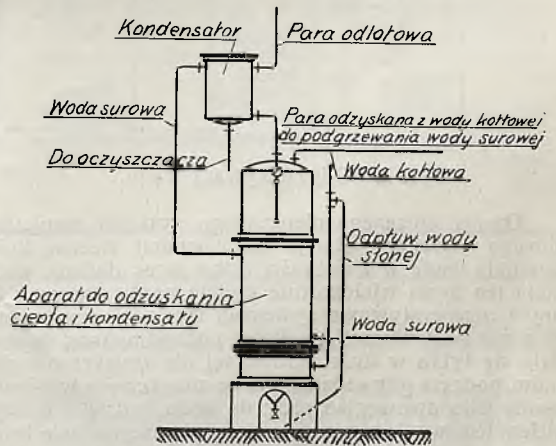
niem odparowaniu zawartości, co przy kotle odparowującym 15 m³/godz. nastąpiło po 67 godzinach, czyli w trzech dniach 24 godzinnych. Po tych trzech dniach dla utrzymania zagęszczenia poniżej 2° Beaumé należałoby tyle wody odprowadzać, ile lekko rozpuszczalnych kg soli wychodzi do kotła czyli w powyższym przykładzie około 15 kg/godz. soli, czyli 150 kg/godz. wody.

Te obydwa niedomagania zwykłego systemu wapienno-sodowego eliminuje ulepszenie tego systemu przez dodanie urządzenia Neckar, służącego do samoczynnego odvodu namułu z kotłów według rys. 2. — W urządzeniu tem w miejscu ręcznego upustu namułu, uchodzi w spodzie kotła rurką i dowolnie nastawianym wentylem stała pewna ilość wody oraz cały namuł do aparatu podgrzewającego wodę surową, gdzie woda upustowa kotła przez rozprężenie paruje, ażeby się następnie skroplić w kondensatorze. Systemem tym zatem oprócz stałego samoczynnego odvodu namułu z kotła i możliwości nastawienia kotła na dowolne ściśle nieprzekraczalne zagęszczenie soli odzyskuje się także:

- 1) prawie całe ciepło upuszczonego namułu i wody oraz rozczynu,
- 2) znaczną ilość upuszczonej wody w formie skondensowanego destylatu,
- 3) odpada zupełnie nieprzyjemne i zwłaszcza przy kotłach o wyższej prężności nader niebezpieczne wydumchiwanie kotła,
- 4) oczyszczenie wody do 0 ~ 1° T. N. w porównaniu z dawnym systemem wapienno-sodowym, który oczyszczał do 3 — 4° T. N. Sam odzysk ciepła stanowi poważną rubrykę, wynosi bowiem przy 300 dniach pracy a 24 godzin dla powyższego przykładu w roku $300 \times 24 \times 750 \text{ kg} \text{ wody} \times (200 \cdot 7 - 10) = 1029.780.000 \text{ kal}$ przy prężności w kotle 14 atn oraz 10° C temperatury wody surowej. W węglu wynosi to około 205.956 kg oszczędności, czyli 20 wagonów 10 tonowych o wartości około 8000 zł.

Ponadto system Neckar zawiera aparat do samoczynnego dawkowania chemikalii przy nierównomiernym dopływie wody, przez co unika się nadmiernego zużycia chemikalii i przesycenia niemi wody.

Ten system samoczynnego odvodu namułu umożliwia też, że jedynie systemem Neckar można unieszkodliwić zupełnie najniebezpieczniejsze tworzywo kamienia kotłowego t. j. krzemionkę, która tylko w pewnej ściśle określonej koncentracji soli i alkaliczności wody pozostaje w średnio



Rys. 2. Urządzenie syst. Neckar do samoczynnego odmulania kotłów.

łatwo rozpuszczalnym związku krzemianu sodu Na₂ SiO₃. Ponieważ jedynie przy zastosowaniu automatycznego odvodu namułu systemem Neckar można osiągnąć stałe ściśle określoną koncentrację soli w wodzie kotłowej, przeto tylko przy zastosowaniu samoczynnego odvodu namułu można utrzymać krzemionkę niezawodnie w stanie rozpuszczonym.

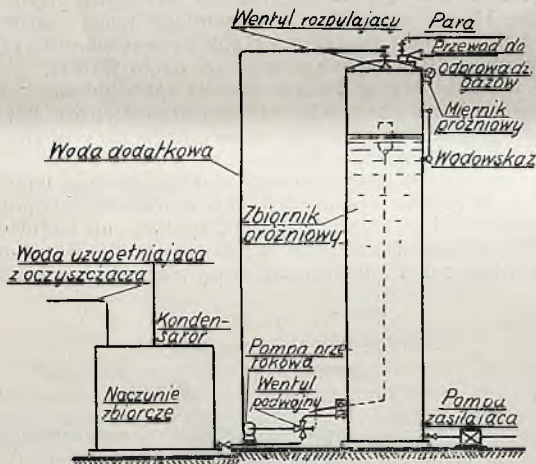
Te walory systemu Neckar uwydatniają się w rozpowszechnieniu tego systemu według powyżej podanej statystyki Związku właścicieli większych kotłowni w Niemczech, gdzie, jeśli się weźmie pod uwagę stosunkowo niedługi okres istnienia tego systemu, dojdziemy, po potrąceniu starszych urządzeń wapienno-sodowych, do konkluzji, że w nowym okresie czasu system Neckar jest najwięcej rozpowszechniony. Z tego też powodu spotyka się system ten z niezwykle przychylną oceną na poważniejszych zebraniach fachowych i tak np. w odczycie o nowościach w maszynowych urządzeniach nawierzchniowych górnictwa, dyrektor Lwowski⁶⁾ na zjeździe okręgowym inżynierów w Essen podniósł.

że nowością jest t. zw. system Neckar, który zapożyczając z trwałości odmulanie kotła szczególnie dobre wyniki wydaje.

Zalety tego systemu polegają na tem, że wydzielającemu się w kotle namułowi nie zezwala na osadzenie się, lecz tenże zaraz po wytworzeniu się i to trwale odwodzi się do oczyszczacza, przyczem wykorzystuje się tak w wodzie namulowej zawarte ciepło, jak też i tamże znajdującą się sodę do oczyszczania wody surowej. Firma Filip Müller w Stuttgarcie posuwa się nawet tak daleko, że obejmuje gwarancję za niepowstanie się kamienia kotłowego i zwraca cały kapitał inwestycyjny wraz z 5% odsetkami, jeśli ten warunek nie zostanie dopełniony.

Na rocznym zebraniu głównej stacji dla gospodarki cieplnej w Berlinie inż. Zschirmer⁷⁾ w swym referacie podkreślił, że:

system Neckar odtwardnia wodę dobrze, odmula kotły w stopniu bardzo wysokim i zaoszczędza na wapnie.



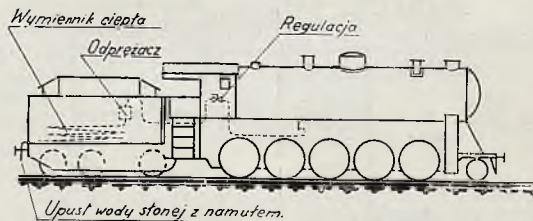
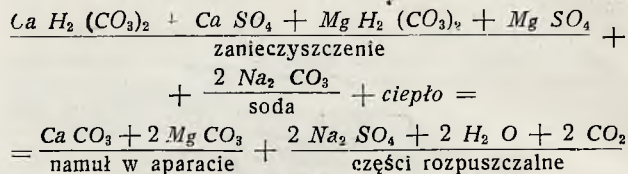
Rys. 3. Odgazowywacz wody.

Oprócz opisanego ulepszono systemu wapienno-sodowego „Neckar“ istnieje także aparat Neckar, który odtwardnia wodę w zupełności tylko przez dodanie sody. System ten bywa wielokrotnie mylnie porównywany z tak zwanym regeneratywnym systemem wynalezionym w roku 1888 przez prof. Rossel'a, a który polegał na tem, że sodę dodaje się tylko w ilości potrzebnej dla zmiękczenia siarczanów, podczas gdy soda zużyta do zmiękczenia węglanów wchodzi jako dwuwęglan sody do kotła, gdzie z wolnym dwutlenkiem węgla regeneruje się ponownie na sodę i jako taka odprowadzona zostaje z powrotem do aparatu oczyszczającego wodę surową.

System ten z powodu konieczności zbyt wielkiego nadmiaru sody został zarzucony, a identyfikowanym jest on błędnie z systemem Neckar, ponieważ oba systemy tylko z pomocą przydawki sody pracują. System czysto sodowy Neckar polega na tem że do rozkładu dwuwęglanów niepotrzebna jest przydawka wapna, ponieważ ilość

ciepła odzyskana z odvodu namułu jest tak znaczną, że podgrzewa dostatecznie wodę surową, wskutek czego dwuwęglany bez dodatku wapna jedynie przez podgrzanie rozkładają się na nierozpuszczalne węglany.

Proces rozkładu jest następujący:



Rys. 4. Automatyckie odprowadzanie namułu w parowozach.

Urządzenie do samoczynnego odmulanie kotła da się także do innych celów z powodzeniem wykorzystać, a mianowicie bądźto energię wypływową namułu z kotła, lub też parę upustu namułu zużywa system Neckar także do uruchomienia odgazowywaczy wody.

Jak wiadomo, nowsze badania wykazały, że bardzo poważnym szkodnikiem dla blach kotłowych i rur są wchłonięte w każdej wodzie gazy, jak tlen i kwas węglowy. Odgazowywanie wody polega na stworzeniu próżni w stojącym zbiorniku widocznym na rys. 3, w którym ponad wodą kotłową stwarza się próżnię, bądźto przez odsysanie gazów zapomocą smoczka, lub też przez skroplenie pewnej ilości pary. Do tego celu stosuje Neckar smoczki pędzone przepływającym do chłodni namulem, lub też wykorzystuje parę pozostałą z rozprężenia wody kotłowej, uchodzącej wraz z namulem, wskutek czego koszty odgazowywania ograniczają się właściwie tylko do nabycia stosunkowo prostej, a zatem niedrogiej konstrukcji odgazowywacza. Także w parowozach, gdzie stacyjne aparaty do oczyszczania wody są lub nie są w użyciu, oddaje urządzenie do samoczynnego odmulanie kotłów dobre usługi, a mianowicie, zastępuje częściowo aparaty do czyszczenia wody, względnie je uzupełnia, ponieważ aparat według rys. 4 prosty i niekosztowny nie dopuszcza do osadzenia się namułu w kotle, lecz namuł ten stale odprowadza, a przytem ciepłem namułu oraz upuszczanej z namulem wody podgrzewa w zbiorniku wodę surową, jak to szczegółowo podają opisy w literaturze.⁸⁾ Rys. 5 przedstawia kompletne urządzenie do czyszczenia wody, gdzie znajdujemy kombinację oczyszczacza wapienno-sodowego systemu Neckar z odgazowywaniem wody oraz z samoczynnym odwodem namułu kotłowego i nadmiaru soli, których ciepło oraz zawartość wody odzyskuje się w 90%, używając tak ciepła jak i energii wylotowej częściowo do podgrzewania wody surowej oraz częściowo do odgazowywania wody. Do zilustrowania sposobu działania tego rodzaju oczyszczacza wody, posłużyć może następujący przykład.

Kotłownia o prężności 40 atn, ma do dyspozycji wodę o następującym składzie:

Wapno (CaO)	0,089	g/lit
Magnezja (MgO)	0,045	„
Kwas siarczany (SO ₃)	0,197	„
Kwas węglowy (CO ₂) półzwiązany	0,044	„
„ „ (CO ₂) wolny	0,052	„
Chlor (Cl)	0,085	„
Krzemionka (SiO ₂)	0,008	„
	(c. d. n.)	

⁶⁾ Czasopismo V. D. I. 1921 str. 841-842

⁷⁾ Czasopismo V. D. I. 1922 str. 1030

⁸⁾ Czasopismo techniczne, Lwów 1928

WODA DESTYLOWANA

DO ZASILANIA KOTŁÓW PAROWYCH

Liczne referencje.
Wazelkie wskazówki
i oferty na żądanie

wytwarzana jest na całym świecie
systemem

PRACHE & BOUILLON

Dowolna koncentracja zapomocą termokompresji pod ciśnieniem lub w próżni
Wyzyskanie pary wysokiego i niskiego ciśnienia (pobór pary, para wylotowa mechanizmów pomocniczych)

Société Générale d'Evaporation
Procédés PRACHE & BOUILLON
S. A. Capital 3.500.000 frs
25, Rue de la Pépinière, Paris, VIIIe
Adr. telegraf.: Praebou, Paris - 118
Tel. Europa 39-19, 42-10, Inter. Europa 83.

Przedstawiciel

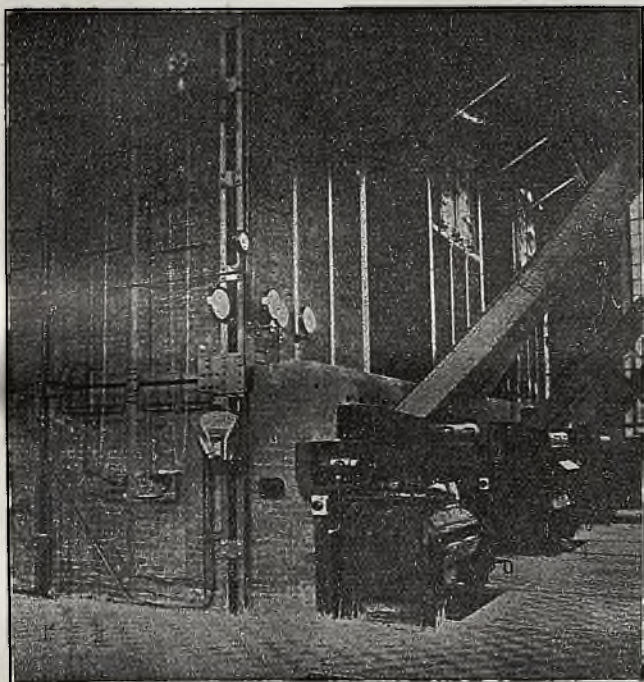
Inż. WACŁAW KOSSOWSKI

Warszawa, Piękna 4, m. 7.

Tel. 233-12.

376—6

H. Cegielski Sp. Akc. w Poznaniu



3 kotły sekcyjne w Elektr. Okręgowej we Włocławku.

Fabr. Parowozów, Wagonów, Kotłów parowych,
Lokomobil, Walców parowych, konstr. żel. i t. p.
Kotły wysokospawne
Sekcyjne o sekcjach wężykowatych, naj-
nowszych systemów o dużej
Stromorurkowe wydajności pary dla
wszelkich ciśnień.

Ekonomizery Pat. „STIERLE“ żebro-
we; racjonalne wyzy-
skanie gazów.

Paleniska z rusztami mechanicznymi syst.
HCP., przystosowane do spa-
lania miału węglowego o wysokiej wydajności
i doskonałym spalaniu.

Całkowite urządzenia kotłowni.
Regulatory pary.

Destylatory pat. do wody zasilającej dla
kotłów oraz dla wszelkich
celów przemysłowych.

W toku wykonania największy kocioł w Polsce
1200 m² na parę wysokoprężną z komorą
spalania zastosowaną do opału pyłem węglowym
i chłodzoną syst. rur włączonych w cyrkulację
wody i t. p. zamówiony przez HUTĘ BISMARCKA
(G. Śl.) dla swego oddz. „Falva“.

Na Powszechnej Wystawie Krajowej w Poznaniu 1929
wyroby fabryki odznaczone zostały 3 wielkimi
złotymi medalami co jest najlepszym dowodem
ich niedoścignionej jakości.

630—630

ODLEWNIA ŻELAZA ST. WEIGT i SKA

Ruszt
dla
palenisk stałych
i
ruchomych

Adres dla depesz
„WEIGTES ŁÓDŹ“

Adres dla listów
ST. WEIGT i SKA ŁÓDŹ

Wodne centralne OGRZEWANIE MIESZKANIOWE

Sposoby obliczania i stosowania

124 strony z 14-ma rysunkami i 10 tablicami.
Zbrozusowane: zł. 5.—, w oprawie płóciennnej zł. 5.50.

Wydawnictwo: Fabryka Maszyn i Odlewnia Że-
laza ST. WEIGT i S-ka Łódź, Senatorska Nr. 22.

Do nabycia u wydawcy i w księgarniach.

FABRYKA PALENISK MECHANICZNYCH

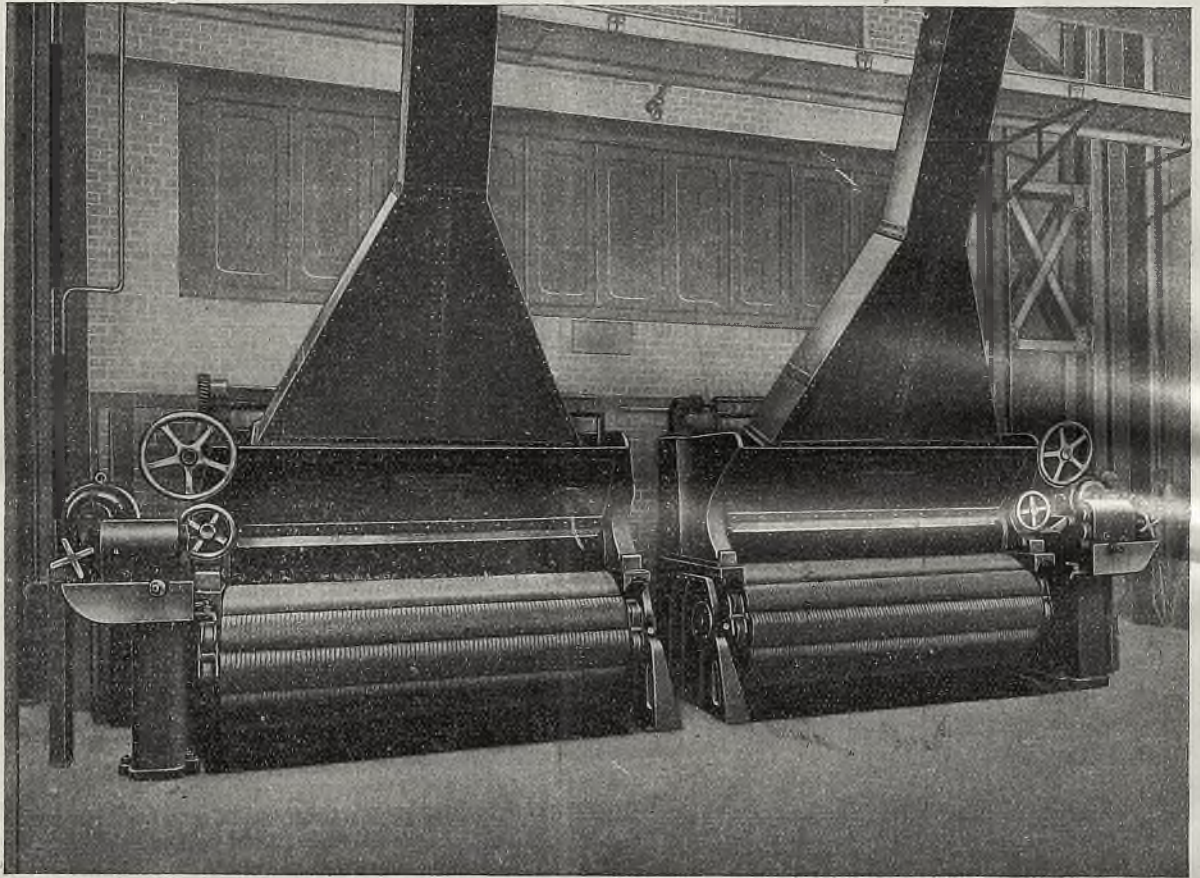
Tow z ogr. odp.

(WANDERROST - WERKE G. m. b. H.)

MIKOŁÓW, Polski G. Śląsk

Specjalna Fabryka Rusztów Mechanicznych sys. „IDEAL“

Wykonano przeszło 1500 rusztów mechanicznych sys. „IDEAL“.



Rusztły mechaniczne sys. „IDEAL“ NA KOPALNI „OHEIM“ G. ŚLĄSK.

WYROBY FABRYKI:

1. **RUSZTY MECHANICZNE** sys. „IDEAL“ z podwiewem i bez podwiewu.
 - a) AMERYKAŃSKIE wiszące sklepienia paleniskowe.
2. PRZEWODY rurowe wysokiego i niskiego ciśnienia.
3. **URZĄDZENIA DO OCZYSZCZANIA WODY** patentowane do wszelkich celów.
4. **Odlewy żeliwne** maszynowo i ręcznie formowane, od najmniejszych do 5000 kg wagi, surowe i obrabiane.
 - a) Przewody rurowe żeliwne do 1200 mm średnicy.

GENERALNY PRZEDSTAWICIEL Inż. WŁ. BUDZIŃSKI WARSZAWA, Smolna 25, Tel. 39-32.

331—S.